

B. CESSAC

Université de Nice

## Cours de Thermodynamique

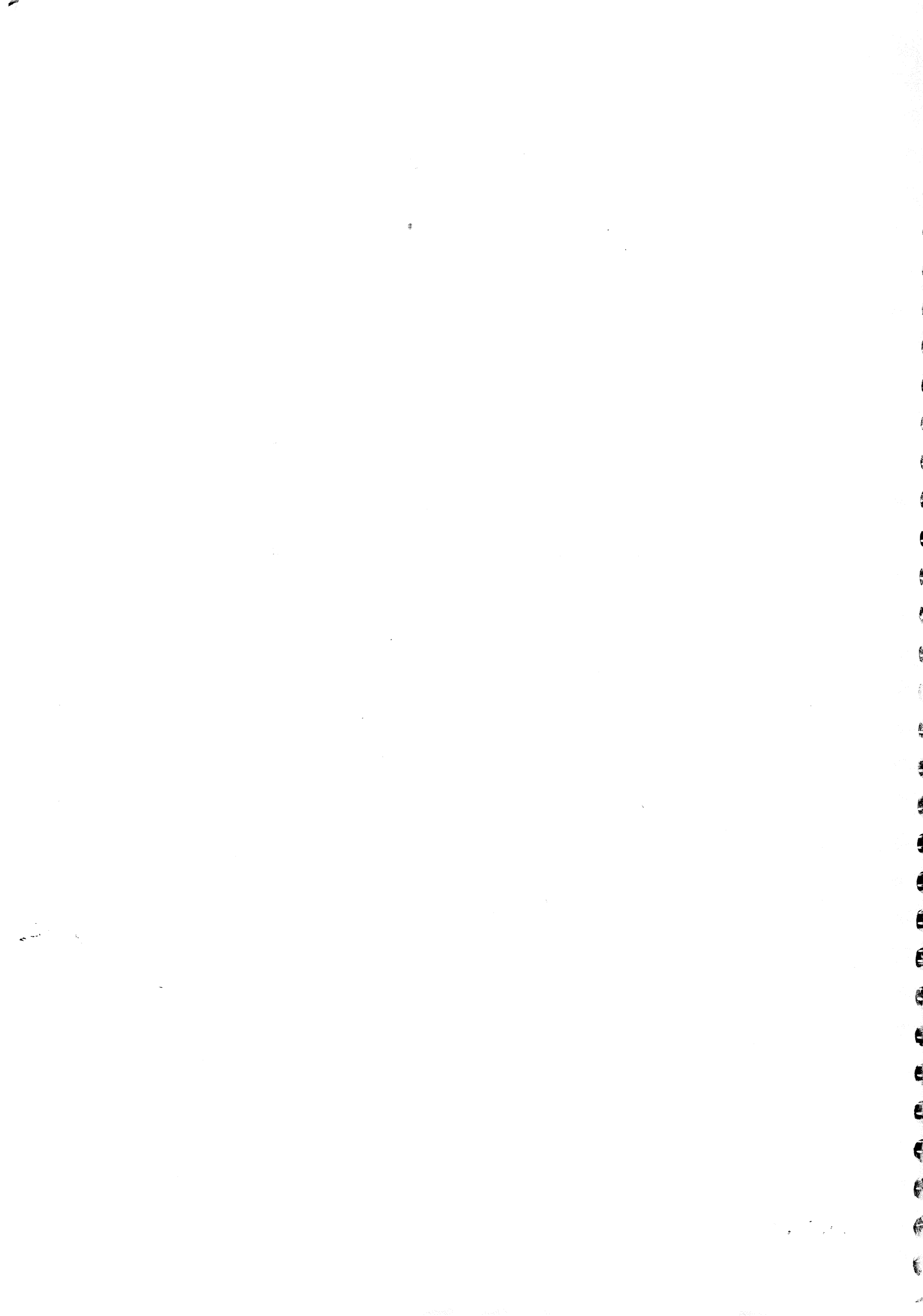
DEUG \$1. P. 2ème année

Université de Nice.

Références. Comprendre la Thermodynamique - G. GONCZI,  
Thermodynamique physique et chimique - Paul J. P. PROVOST  
Fernand Nathan

Thermodynamique : cas et problèmes - M. D. ABBOTT  
H. C. VAN NESS  
Série Schaum

Thermodynamique (Exercices) - H. LUMBRROS  
(McGRAW-HILL)



# Chapitre F

## Transitions de phase

### 1) Etude macroscopique des gaz

#### 1.1) Gaz parfait:

##### 1.1.1) Définition

Il existe plusieurs façons de définir un gaz parfait, la plus satisfaisante étant obtenue par la physique statistique. Dans l'immediat on se contentera de définir le gaz parfait par son équation d'état.

Pour  $n$  moles de gaz :

$$PV = nRT = NkT$$

$N$  nb de particules

avec  $R = 8.314 \text{ J mol}^{-1} \text{ K}^{-1}$  (côté des 60)  
 $k = 1.38 \times 10^{-23} \text{ J K}^{-1}$  (côté de Boltzmann)

Il en déraille les propriétés suivantes (TD), valable pour un gaz réel, si celui-ci est très dilué.

##### 1.1.2) Propriétés

$$U \equiv U(T)$$

(première loi de Joule)

$$H \equiv H(T)$$

(seconde loi de Joule)

$$PV_n = A(T)$$

(Loi d'Avogadro)

$$\frac{PV}{nT} = \text{constante}$$

$$\alpha = \beta = 1/T$$

$$\chi_T = 1/p$$

$$\ell = P, h = -V$$

$$\left( \left. \frac{\partial C_V}{\partial V} \right|_T = 0, \left. \frac{\partial C_P}{\partial P} \right|_T = 0, C_P - C_V = T\alpha\beta PV = nR \right)$$

Par ailleurs

$$\begin{aligned}
 U &= U_0 + \int_{T_0}^T C_V(t) dt \Rightarrow U = U_0 + C_V(T - T_0) \\
 H &= H_0 + \int_{T_0}^T C_P(t) dt \Rightarrow H = H_0 + C_P(T - T_0) \\
 S &= S_0 + \int_{T_0}^T C_V(t) \frac{dt}{t} + nR \ln \frac{V}{V_0} \Rightarrow S = S_0 + C_V \ln \frac{T}{T_0} \\
 &\quad + nR \ln \frac{V}{V_0}
 \end{aligned}$$

bonne \(\gamma = \frac{c\_p}{c\_v}\) et \(c\_p - c\_v = nR > 0\) on a :

$$C_V = \frac{nR}{\gamma - 1} , \quad C_P = \frac{\gamma nR}{\gamma - 1} \Rightarrow$$

$$\begin{aligned}
 S &= S_0 + c_V \left( \ln \frac{T}{T_0} + (\gamma - 1) \ln \frac{V/V_0}{P/P_0} \right) \\
 &= S_0 + c_V \ln \left( \frac{TV^{\gamma-1}}{T_0 V_0^{\gamma-1}} \right) \\
 &= S_0 + c_p \ln \left( \frac{T P^{\frac{1-\gamma}{\gamma}}}{T_0 P_0^{\frac{1-\gamma}{\gamma}}} \right) \\
 &= S_0 + c_p \ln \left( \frac{PV^{\gamma}}{P_0 V_0^{\gamma}} \right)
 \end{aligned}$$

### 1.1.3) Isothermes, isentropiques.

$$S = \text{coste} \Rightarrow \boxed{PV^{\frac{\delta}{\gamma}} = \text{coste}; TP^{\frac{1-\delta}{\delta}} = \text{coste} T V^{\frac{\delta-1}{\delta}} = \text{coste}}$$

En corachones PV

$$PV^\infty = \underline{st}$$

(Seriopigree clayeyos,

$$\text{On a } X_s = \frac{x_I}{x} \text{ et } j > I \Rightarrow x_I > x_s$$

$$\Rightarrow -\left(\frac{\partial V}{\partial \rho}\right)_T > \left(-\frac{\partial V}{\partial \rho}\right)_c$$

$$\Rightarrow \left| \frac{\partial V}{\partial P} \Big|_S \right| > \left| \frac{\partial V}{\partial P} \Big|_T \right|$$

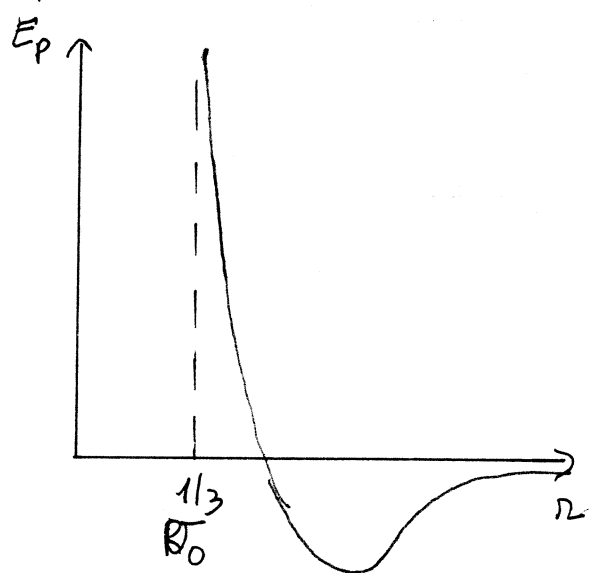
La pente de l'isotherme opique est supérieure à celle de l'isotherme de Clapeyron.

### 1.2) gaz de Van der Waals

#### 1.2.1) Équation de Van der Waals.

Le gaz parfait est une bonne approximation pour un gaz loisible, dans lequel les interactions entre particules sont négligeables. Si la densité du gaz augmente les interactions ne sont plus négligeables et dépendent de la distance intermoléculaire. Le modèle de Van der Waals est un modèle quantitativement satisfaisant et mathématiquement simple des gaz réels (avec des limitations, comme on le verra).

L'énergie d'interaction entre molécules est bien modélisée par le potentiel de Lennard-Jones : L'interaction est nulle à portée infinie, attactive aux distances intermédiaires, et répulsive



lorsqu'on arrive à un rayon de l'arc de  $R_0^{1/3}$  où  $R_0$  est le volume d'une particule (les particules ne sont donc plus ponctuel ici). Le volume effectif occupé par une molécule est donc  $\frac{V}{N} - R_0 = v - R_0 = v_{eff}$

La pression effective est égale à  $P$  lorsque  $r \rightarrow +\infty$ , est infinit lorsque  $r \rightarrow R_0^{1/3}$ . Dans la region intermédiaire où l'interaction est attactive, cette attraction fait diminuer la pression. Pour calculer la correction correspondante, on remarque que lorsque  $\frac{v}{n} = v \rightarrow \infty$  (dilution extrême) on doit retrouver

l'équation du gaz parfait :  $P = \frac{NkT}{V} = \frac{kT}{V}$ . On cherche alors la correction à  $P$  sous la forme d'un développement en  $\frac{1}{V}$ .  $P' = \frac{kT}{V} \left( 1 + \frac{\alpha}{V} + \dots \right)$ . Soit, au plus bas ordre

$$P' = P_{\text{in}} + \frac{\alpha kT}{V^2}$$

On pose  $\alpha kT = -a$ . Dans le modèle de Van der Waals, on supposera  $a = \text{constante}$ . L'équation du  $\mathcal{G} P$ .

$P_{\text{in}} V_{\text{eff}} = \mathcal{G} P kT = RT$  (par mole) devient donc :

$$\left( P + \frac{a}{V^2} \right) (V - b) = RT, \quad b = \mathcal{D} P R T_0$$

$$(P - \frac{\alpha kT a^2}{V^2}) (V - b) = RT$$

Pour  $N$  particules, correspondant à  $n$  moles de gaz on a :

$$\boxed{\left( P + \frac{n^2 a}{V^2} \right) (V - nb) = nRT}$$

Équation de Van der Waals.

### 1.2.2) Isothermes dans le plan d'Amagat.

On pose  $y = PV$ . L'équation de Van der Waals devient, par mole :

$$PV + \frac{a}{V} - bp - \frac{ab}{V^2} = RT$$

$$\times (PV)^2 \rightarrow (PV)^3 + aP^2V^2 - 6P^3V^2 - abP^2 = RTP^2V^2$$

$$\Rightarrow \boxed{y^3 - (RT + bP)y^2 + aPy - abP^2 = 0} \quad (*)$$

$$\Leftrightarrow \boxed{y = RT + bP + aPy^{-1} + abP^2y^{-2}} \quad (**)$$

La pente des isothermes est donnée par :

$$\left(\frac{\partial g}{\partial P}\right)_T = \left.\frac{\partial PV}{\partial P}\right|_T = V + P \underbrace{\left(\frac{\partial V}{\partial P}\right)_T}_{-Vx_T} = PV\left(\frac{1}{P} - x_T\right) = g\left(\frac{1}{P} - x_T\right)$$

(relation générale)

On voit donc qu'il y a trois régions

- la région où les isothermes ont une pente positive

$$x_T < \frac{1}{P} \Leftrightarrow \alpha < \beta \quad (\alpha = P\beta x_T)$$

- la région où les isothermes ont une pente négative

$$x_T > \frac{1}{P} \Leftrightarrow \alpha > \beta$$

- une région intermédiaire, courbe séparant les deux régions précédentes, appelée parabole de van der Waals

$$x_T = \frac{1}{P} \Leftrightarrow \alpha = \beta$$

Dans le cas du gaz de van der Waals on a, sur la parabole de van der Waals

$$\frac{\partial y}{\partial P} = b - a y^{-1} + 2abP y^{-2} = 0 \quad \begin{array}{l} \text{(faire le calcul)} \\ \text{(pour démontrer que la parabole coupe l'axe des pressions)} \end{array}$$

$$\Leftrightarrow by^2 - ay + 2abP = 0 \Leftrightarrow P = -\frac{b}{2a}y^2 + \frac{1}{2b}y$$

qui est bien une parabole, si on écrit  $P = P(y)$ . Cette courbe passe par les points  $(P=0, y=0)$ ,  $(P=0, y = \frac{a}{b})$  et a pour sommet  $-\frac{b}{2a}y + \frac{1}{2b} = 0 \Rightarrow y = \frac{a}{2b}$  et  $P = \frac{a}{8b^2}$

On note ce sommet  $\cap = (y_n = \frac{a}{2b}, P_n = \frac{a}{8b^2})$

Température de van der Waals

$$T_n = \inf_{+} \{ \text{isotherme dans la région } x_T < 1/P \}$$

Ex : 23K pour He, 107K pour H, 324K pour Ni.

Pour le gaz parfait van der Waals la pente des isothermes est

$$\left[ \frac{\partial y}{\partial P} \right]_T = b - a y^{-1} + a P y^{-2} \left[ \frac{\partial y}{\partial P} \right]_T + 2ab P y^{-2} - 2ab P^2 y^{-3} \left[ \frac{\partial y}{\partial P} \right]_T$$

$$\left[ \frac{\partial y}{\partial P} \right]_T \neq 1 - a P y^{-2} + 2ab P^2 y^{-3} = b - a y^{-1} + 2ab P y^{-2}$$

$$\left[ \frac{\partial y}{\partial P} \right]_T = \frac{b - a y^{-1} + 2ab P y^{-2}}{1 - a P y^{-2} + 2ab P^2 y^{-3}} = \frac{b y^2 - a y + 2ab P}{y^2 - a P + 2ab P^2 - 1}$$

Or  $y^2 - (RT + bP)y = -aP + abP^2 y^{-1}$

$\Rightarrow -2aP + 2abP^2 y^{-1} = 2(y^2 - (RT + bP)y)$

(x 2)  $\Rightarrow y^2 - aP + 2abP^2 y^{-1} = y^2 - 2aP + 2abP^2 y^{-1} + aP = 3y^2 - 2(RT + bP)y + aP$

Finalment :

$$\left[ \frac{\partial y}{\partial P} \right]_T = \frac{by^2 - ay + 2abP}{3y^2 - 2y(RT + bP) + aP}$$

pente des  
isothermes dans le  
plan d'Amagat

Parabol de Gay Lussac Si  $P \rightarrow +\infty$ ,  $\left[ \frac{\partial y}{\partial P} \right]_T \sim \dots \rightarrow$  pente constante, isotherme rectiligne.

Pour un gaz parfait  $\alpha = \frac{1}{V} \left( \frac{\partial V}{\partial T} \right)_P = \frac{1}{V} \left( \frac{\partial}{\partial T} \frac{nRT}{P} \right) = \frac{nR}{PV} = \frac{1}{T}$

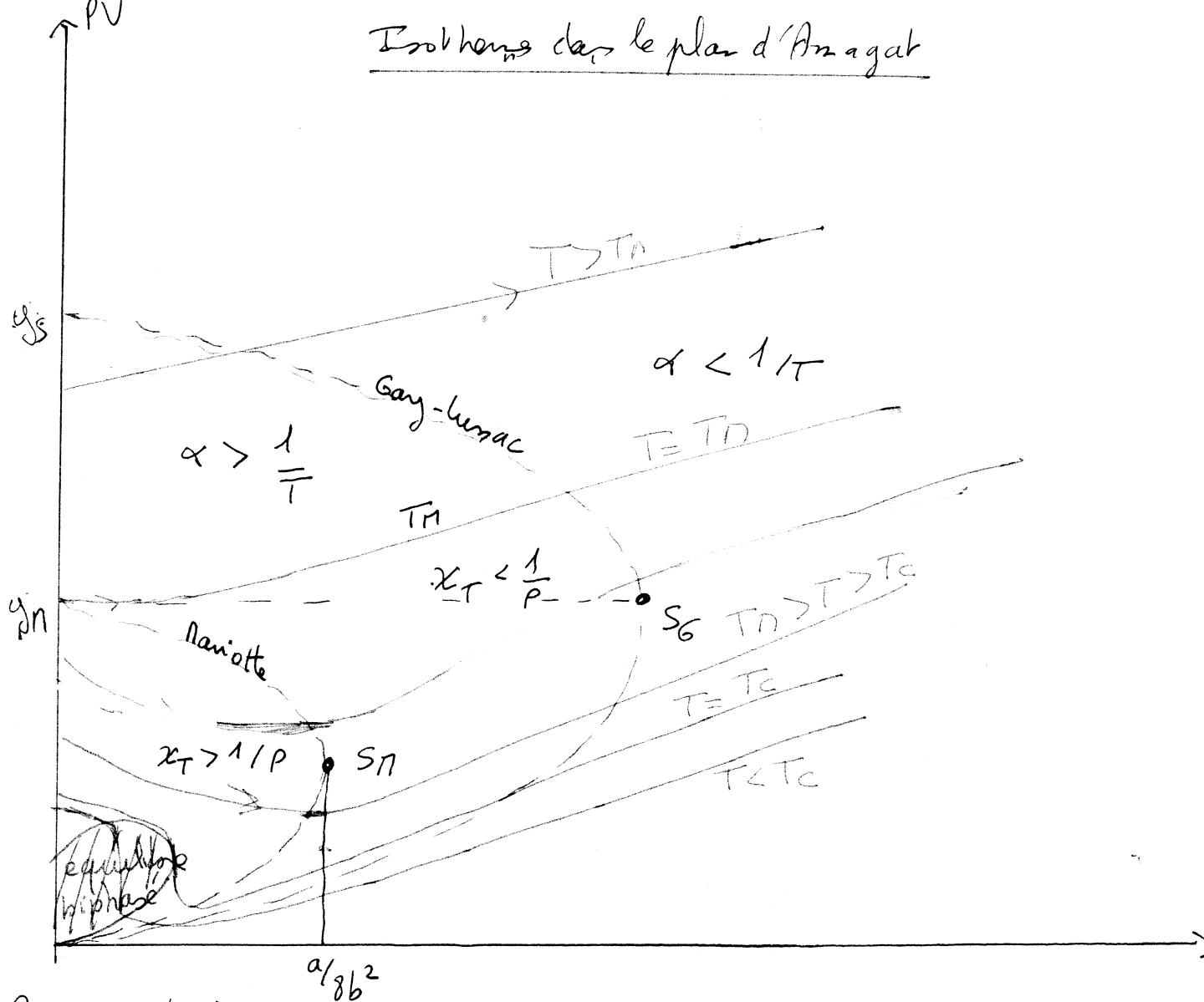
Pour le gaz de Van der Waals, on a  $\frac{1}{y} \left( \frac{\partial y}{\partial T} \right)_P = \frac{1}{PV} \left( \frac{\partial PV}{\partial T} \right)_P$

$$= \frac{1}{V} \left[ \frac{\partial V}{\partial T} \right]_P = \alpha \quad \text{Or.}$$

$$\left[ \frac{\partial y}{\partial T} \right]_P = R + a P y^{-2} \cdot \left[ \frac{\partial y}{\partial T} \right]_P - 2ab b P^2 y^{-3} \left[ \frac{\partial y}{\partial T} \right]_P$$

$$\left[ \frac{\partial y}{\partial T} \right]_P \neq 1 - a P y^{-2} + 2ab P^2 y^{-3} = R \quad (\text{suite page } n+2)$$

# Isothermes dans le plan PV



Parabole de Mariotte

$$y_N = \frac{a}{b}; \quad S_N = \left( \frac{a}{8b^2}, \frac{a}{2b} \right) \quad x_T > 1/p \text{ à l'intérieur}$$

Près de la parabole de Mariotte  $PV \approx cte$   $x_T > 1/p$

$$\therefore \alpha = \beta$$

Loi de Mariotte et gaz de Mariotte

A l'intérieur le gaz est plus compressible qu'un gaz de Mariotte

$T_M$ : température de Mariotte.  $T_N = a/Rb$

Parabole de Gay-Lussac

$$\left[ \frac{\partial y}{\partial T} \right]_P = \frac{R}{1 - aP y^{-2} + 2abP^2 y^{-3}} \Rightarrow$$

$$\alpha = \frac{R}{y - aP y^{-1} + 2abP^2 y^{-2}} = \frac{R y^2}{y(y^2 - aP y + 2abP^2 y^{-1})}$$

$$\alpha = \frac{R y^2}{3y^3 - 2y^2(RT + bP) + aPy}$$

|  $3y^2 - 2(RT + bP)y + aP$   
(cf. Navier-Stokes)

mais  $y^3 = (RT + bP)y^2 - 2aPy + 3abP^2$

$$\Rightarrow \alpha = \frac{R y^2}{(RT + bP)y^2 - 2aPy + 3abP^2} = \frac{R y^2}{R y^2 \left( 1 + \frac{P}{R T y^2} (b y^2 - 2 a y + 3 a b P) \right)}$$

$$\alpha = \frac{1}{T} \frac{1}{1 + \frac{P}{R T y^2} (b y^2 - 2 a y + 3 a b P)}$$

Béla donne une correction au gaz parfait.  $\alpha = \alpha(6P) = 1/T$

$$b y^2 - 2 a y + 3 a b P = 0$$

Parabole de Gay-Lussac

cette parabole a pour sommet  $(y = a/b ; P = \frac{a}{3b^2})$  et coupe

l'axe des ordonnées en  $y = 0$  et  $y = 2a/b$ . A l'intérieur  $\alpha > 1/T$  et  
à l'extérieur  $\alpha < 1/T$

Pont critique C:

Il est défini par (pt d'inflection de pente nulle pour,  $P \equiv P(y)$ )

$$\left. \frac{\partial P}{\partial y} \right|_T = 0, \quad \left. \frac{\partial^2 P}{\partial y^2} \right|_T = 0. \quad \text{On démontre de ce fait (****)}$$

$$\Rightarrow 1 = b \left. \frac{\partial P}{\partial y} \right|_T - a \left. \frac{\partial P}{\partial y} \right|_T y^{-1} + a P y^{-2} + 2ab \left. \frac{\partial P}{\partial y} \right|_T y^{-2} - 2ab P^2 y^{-3}$$

$$0 = b \left. \frac{\partial^2 P}{\partial y^2} \right|_T - a \left. \frac{\partial^2 P}{\partial y^2} \right|_T y^{-1} + a \left. \frac{\partial P}{\partial y} \right|_T y^{-2} + a \left. \frac{\partial P}{\partial y} \right|_T y^{-2} - 2a P y^{-3} \\ + 2ab \left( \left. \frac{\partial P}{\partial y} \right|_T \right)^2 y^{-2} + 2ab P \left. \frac{\partial^2 P}{\partial y^2} \right|_T y^{-2} - 4ab P \left. \frac{\partial P}{\partial y} \right|_T y^{-3} \\ + 8ab \left. \frac{\partial P}{\partial y} \right|_T y^{-3} + 6ab P^2 y^{-4}$$

$$\Rightarrow -2a P y^{-3} + 6ab P^2 y^{-4} = 0 \Rightarrow y_C = 36 P_C = P_C V_C$$

$$\Rightarrow \boxed{V_C = 36} \quad (\text{coordonnée "critique"})$$

$$P_C = \frac{a}{27b^2}$$

$$T_C = \frac{8a}{27Rb}$$

Coordonnées réduites:

en introduisant les coordonnées réduites  $p = \frac{P}{P_C}$ ;  $v = \frac{V}{V_C}$ ;  $t = \frac{T}{T_C}$

l'équation de Van der Waals devient:

$$\boxed{\left( p + \frac{3}{v^2} \right) (3v - 1) = 8t}$$

qui ne dépend plus d'autre paramètre spécifique.  $\Rightarrow$  Si Van der Waals était correct tous les gaz auraient la même équation d'état et les mèmes isothermes.

Lois d'Avogadro:

À basse pression ( $y \approx RT$ )

$$y = RT + (b - ay^{-1})P + o(P^2) = RT + b \left( 1 - \frac{a}{RT + (b - ay^{-1})P} \right)$$

$$\Rightarrow y = RT + \left( b - \frac{a}{RT} \right) P = \alpha(T) + \beta(T) P$$

NB de mols: Pour 2 masses de gaz  $m_1$  et  $m_2$ , il existe, pour  $T$  fixes, 2 masses  $m'_1, m'_2$  telles que  $\frac{m'_1}{m'_2} = \frac{m_1}{m_2}$   $\Rightarrow \alpha(T) = \text{constante} \rightarrow$  déf des nb de mols.

### 1.2.3) Isothermes dans le plan de Clapeyron

$$(P + \frac{a}{V^2})(V - b) = RT \Leftrightarrow PV + \frac{a}{V} - bP - \frac{ab}{V^2} = RT$$

$\Leftrightarrow$

$$PV^3 - V^2 \left( b + \frac{RT}{P} \right) + \frac{a}{P} V - \frac{ab}{P} = 0$$

(équation des isothermes) (cubique du V)

Échana:

On différencie par rapport à V, à T :

$$\begin{aligned} 3V^2 - 2V \left( b + \frac{RT}{P} \right) + V^2 & \times \left[ \frac{\partial P}{\partial V} \Big|_T + \frac{a}{P} - \frac{aV \partial P}{P^2 \partial V} \Big|_T + \frac{ab \partial P}{P^2 \partial V} \Big|_T \right] = \\ \frac{\partial P}{\partial V} \Big|_T & \neq V^2 \times \left( \frac{RT}{P^2} - \frac{aV}{P^2} + \frac{ab}{P^2} \right) = -3V^2 + 2V \left( b + \frac{RT}{P} \right) - \frac{a}{P} \end{aligned}$$

$$\frac{\partial P}{\partial V} \Big|_T = -\frac{3V^2 + 2V \left( b + \frac{RT}{P} \right) - a/P}{V^2} \quad ; \quad \frac{RT}{P^2} - \frac{aV}{P^2} + \frac{ab}{P^2}$$

Échana pour  $-3V^2 + 2V \left( b + \frac{RT}{P} \right) - a/P = 0$

$$\text{Nécessite } \Delta = 4 \left( b + \frac{RT}{P} \right)^2 - 4 \times 3 \times \frac{a}{P} \geq 0 \Rightarrow \left( b + \frac{RT}{P} \right)^2 \geq \frac{3a}{P} \quad \left( \frac{T_c}{P_c} = \frac{8b}{R}, \frac{g_u}{P_c} = \frac{9b^2}{R} \right)$$

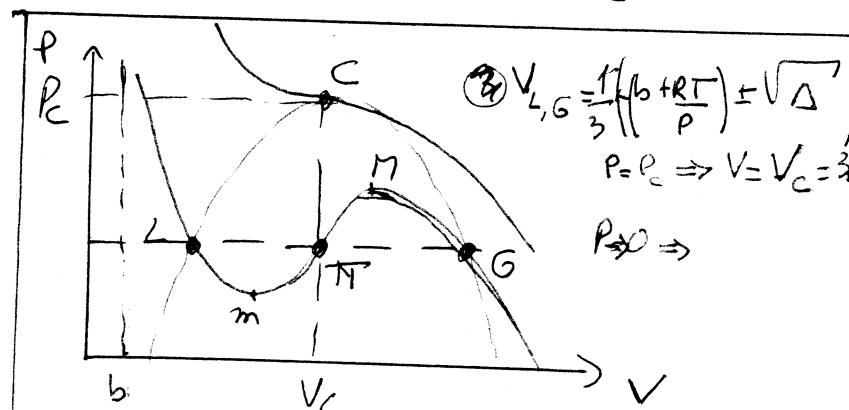
NB On a égalité pour le point critique C. La courbe a deux extrêmes en dessous de  $P_c$

Interprétation

L'arc LM représentent un état instable

(réfert à la liquéfaction et vaporisation)

NB : Le arc mTP est non réaliste (on augmente en même temps  $P$  et  $V \Rightarrow \chi_T < 0$ )



Le modèle de Van der Waals ne permet pas de décrire le point de liquéfaction.

Point critique

$$\boxed{\frac{\partial P}{\partial V} \Big|_T = \frac{\partial^2 P}{\partial V^2} \Big|_T = 0}$$

## 2) Transitions de phase d'un corps pur

### 2.1) Phase et changement de phase

Coups pur: Un corps composé de particules (atomes, molécules) identiques est appelé corps pur. Dans le cas contraire on dit que c'est un mélange.

Phase: C'est une partie homogène, de même composition et de mêmes propriétés.  
C'est un macro état (i.e. une distribution de probabilité) en équilibre par translation dans l'espace (alors qu'il n'est pas nécessairement en équilibre par translation dans le temps).

Un corps pur peut exister sous plusieurs formes ou phases: phase gazeuse, liquide, solide (avec plusieurs formes cristallines possibles appelées variétés allotropiques), plasma, condensat.

Le passage d'une phase à une autre est appelé changement de phase ou transition de phase. Les principales transitions de phase sont:

Phase 1	Phase 2	nom de la transition
solide	liquide	$1 \rightarrow 2$ fusion
liquide	gaz	vaporation
solide	gaz	sublimation
solide 1	solide 2	allokopie

Coexistence de phase: Sous certaines conditions de température et de pression différentes phases peuvent coexister.

Vapeur: Un gaz est appelé vapeur quand il est en équilibre avec le liquide ou le solide (au cours d'un état proche de l'équilibre)

Interprétation microscopique: Les différentes phases se caractérisent par l'intensité des liaisons entre molécules. Une transition de phase s'accompagne donc nécessairement d'un transfert d'énergie entre le corps pur et le milieu extérieur.

## 2.2) Condition d'équilibre parmi les équilibres

### 2.2.1) Équation d'Euler

Pour un corps pur contenant  $K$  phases le bilan énergétique s'écrit

$$dU = TdS - PdV + \sum_{i=1}^K \mu_i dN_i \quad n \text{ nb de molés}$$

L'énergie étant extensive,  $\lambda \lambda > 0$ :

$$U(\lambda S, \lambda V, \lambda N_1, \dots, \lambda N_K) = \lambda U(S, V, N_1, \dots, N_K)$$

Solv, on différentie par rapport à  $\lambda$ :

$$\frac{\partial U}{\partial (\lambda S)} \Big|_{V, N_i} + \frac{\partial U}{\partial (\lambda V)} \Big|_{S, N_i} + \sum_{i=1}^K \frac{\partial U}{\partial (\lambda N_i)} \Big|_{S, V, N_j} = 0$$

Pour  $\lambda = 1$

$$U = TS + PV + \sum_{i=1}^K \mu_i N_i \quad \boxed{\text{équation d'Euler}}$$

### 2.2.2) Relation de Gibbs-Duhem:

Comme  $G = U - TS + PV$  on obtient

Pour une phase

$$\boxed{G = \mu}$$

$$G = \sum_{i=1}^K \mu_i N_i \Rightarrow dG = TdS - PdV + \sum_{i=1}^K \mu_i dN_i - TdS - SdT + VdP + \sum_{i=1}^K \mu_i dN_i$$

$$\text{Donc: } dG = -SdT + VdP + \sum_{i=1}^K \mu_i dN_i = \sum_{i=1}^K (\mu_i dN_i + N_i d\mu_i)$$

$$\Rightarrow \boxed{\sum_{i=1}^K N_i d\mu_i + SdT - VdP = 0}$$

Relation de Gibbs-Duhem

## 2.2.3) Équilibre entre phases

On considère un système en équilibre avec une source (par exemple l'atmosphère) qui fixe la température et la pression de l'ensemble :  $T = T_0$ ,  $P = P_0$ . On suppose le système global isolé ( $U + U_0 = \text{const}$ ). On est donc dans le cadre de transformations isothermes et isolées. On a la condition suivante :

### 2.2.3.1) Minimisation de l'enthalpie libre.

$$V + V_0 = \mathcal{V} = \text{const} \Rightarrow dV = -dV_0$$

On a, dans une transformation infinitésimale (quasistatique) :  $d(S + S_0) \geq 0 \Rightarrow dS \geq -dS_0$

Par la source  $dU_0 = T_0 dS_0 - P_0 dV_0 = -dU \Rightarrow$

$$dS_0 = +\frac{1}{T_0} (dU_0 + P_0 dV_0) = -\frac{1}{T_0} (-dU + P_0 dV_0) = \frac{1}{T} (-dU - P_0 dV)$$

$$dG = d(U + PV - TS) = dU + PdV - TdS \quad (P, T = \text{const})$$

$$\leq dU + PdV + TdS_0 \leq 0$$

Donc l'enthalpie libre ne peut que décroître au cours d'une transformation isotherme et isolée

$$dG \leq 0$$

N.B. Ces propriétés se généralisent à d'autres transformations avec d'autres potentiels (chapitre 2)

### 2.2.3.2) Condition d'équilibre entre 2 phases

On a vu que cette condition s'écrivait

$$\mu_1(T, P) = \mu_2(T, P)$$

De manière équivalente, la relation de Gibbs-Duhem explique que la condition d'équilibre est réalisée par un minimum de l'enthalpie libre (molaire). L'équilibre est donné par :

$$G_1(T, P) = G_2(T, P)$$

De manière générale ces 2 relations signifient, par le théorème des fonctions implicites, qu'il existe une relation entre la température et la pression, lors de l'équilibre entre phases

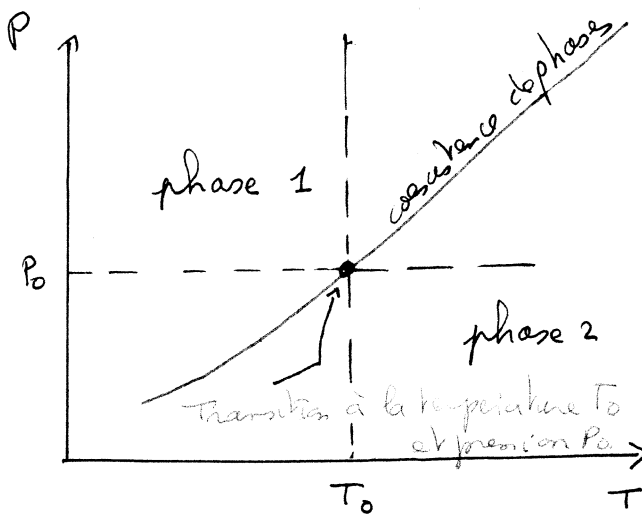
$$P = f(T)$$

Remarque : cette relation donne une courbe différentiable. Si  $\left[ \frac{\partial G_1}{\partial P} \right]_T \neq \left[ \frac{\partial G_2}{\partial P} \right]_T$ . En effet,

$\Delta(P, T) = 0 \Leftrightarrow P = f(T) \text{ si } \left[ \frac{\partial \Delta}{\partial P} \right]_T = 0.$  On a alors

$$\frac{dP}{dT} = - \frac{\left[ \frac{\partial G_1}{\partial T} \right]_P - \left[ \frac{\partial G_2}{\partial T} \right]_P}{\left[ \frac{\partial G_1}{\partial P} \right]_T - \left[ \frac{\partial G_2}{\partial P} \right]_T} = \frac{S_1 - S_2}{V_1 - V_2}$$

C'est une courbe dans le plan  $P, T$  sauf si la condition précédente est violée.



On a  $\frac{dP}{dT} = \frac{S_1 - S_2}{V_1 - V_2}$

$\Rightarrow$  courbe de variation constante en générale croissante (mais pas toujours).

Équation de Clapeyron

### 2.2.3.3) Déplacement de l'équilibre entre 2 phases : chaleur latente

La transformation étant quasi-stationnaire

$$dQ = T dS = dH$$

sobare.

On a en effet ailleurs  $dH = dU + PdV + VdP = TdS + VdP = TdS$

Le passage de la phase 1 à la phase 2 implique donc un transfert thermique

$$Q = \Delta H = T \Delta S$$

$(T = \text{const})$

on définit alors la chaleur latente de changement de phase.

Définition: On appelle chaleur latente de changement de phase d'un mème donné de corps pur  $L_{1 \rightarrow 2}(T)$  la variation de son enthalpie quand il passe d'une phase 1 à la phase 2. C'est aussi la quantité de chaleur (algébrique) qui il faut faire passer pour passer complètement de la phase 1 à la phase 2.

La chaleur latente étant une grandeur extensive, on préfère donner les chaleurs latentes molaïques au molaris.

En vertu de la relation de Clapeyron :

$$\Delta S = (V_2 - V_1) \frac{dP}{dT} = \Delta V \frac{dP}{dT}$$

Donc

$$L_{12} = T (V_2 - V_1) \frac{dP}{dT}$$

(en conséquence  $L_{12}$  ne dépend que de  $T$ )

### 2.2.3.4) Etude des courbes d'équilibre ( $T, P$ )

On se place dans le cas où  $L_{12} > 0$  (et la transformation inverse est telle que  $L_{21} = -L_{12}$ )

\* Vaporation, sublimation  $\Rightarrow V_2 > V_1 \Rightarrow \frac{dP}{dT} > 0$

\* Fusion: En général  $V_2 > V_1 \Rightarrow \frac{dP}{dT} > 0$

mais il y a des exceptions (eau, Br, Sb, Ge, Si)

Approximations. Pour la vaporation et la sublimation seulement, on peut:

\* Négliger  $V_1$  devant  $V_2$

\* Assimiler  $2$  à un gaz parfait

\* linéariser  $|L_{12}(T) \sim A + BT|$

$$V_2 = \frac{nRT}{P}$$

$$(A > 0, B > 0)$$

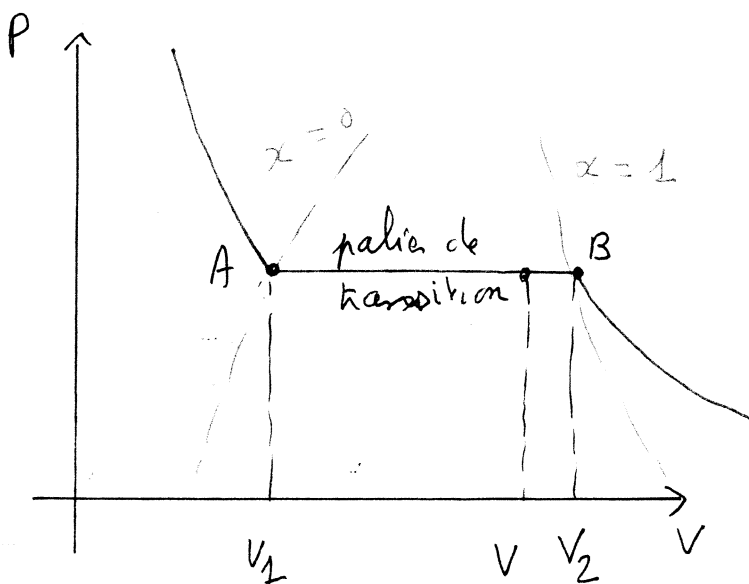
Formule de  
Remarque.

(Vrai dans du point critique)

## 2.2.3.5) Plan de Clapeyron.

Dans du passage de la phase 1 à la phase 2, il y a, en général, (sauf au point critique) une période pendant laquelle les deux phases coexistent. Si  $x$  est la fraction de moles dans la phase 2,  $1-x$  est la fraction de moles dans la phase 1. Le volume total est  $V = (1-x)V_1 + xV_2$ . L'équation d'état n'est plus  $f(P, V, T) = 0$  car  $P$  et  $T$  sont liés l'un à l'autre sur la courbe de changement de phase.

Dans du passage de la phase 1 à la phase 2, le volume varie donc, alors que  $P$  et  $T$  sont constantes. Donc, dans le plan de Clapeyron, la transition s'effectue le long d'une courbe, à  $P$  constante. On appelle cette partie "palier de la transition".



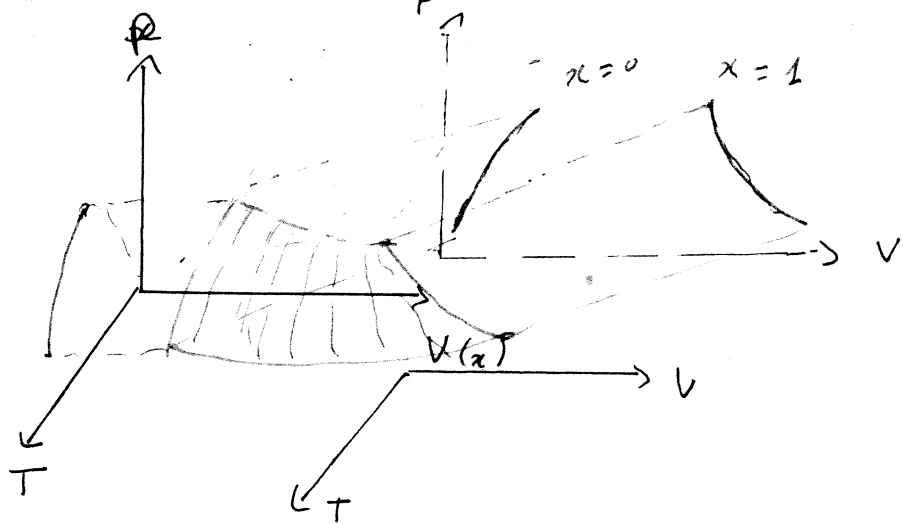
En un point N du pal correspondant à la frac  $x$ , on a:

$$x = \frac{V - V_1}{V_2 - V_1} = \frac{\overline{AN}}{\overline{AB}}$$

Sur le palier, on a  $x_T = -\frac{1}{V} \left( \frac{\partial V}{\partial P} \right) = +\infty$  (on fait varier  $V$  sans faire varier  $P$ ).

Lesque  $P, T$  varient, ( $P = f(T)$ ) les points A et B se déplacent le long d'une courbe,  $x=0$  et  $x=1$  (toujours par le biais des fonctions implicites puisque le point du plateau est donné par  $f(P, V) = f(P, x) = \text{ste}$ ). En d'autres termes, en changeant  $x$  (ou  $V$ ) on déplace la courbe  $P = f(T)$  dans l'espace  $P, V, T$ ,

Ce qui décrit une surface appelée domaine des états biphasés.



### 2.2.3.6) Point critique : Équilibre liquide-vapeur

On a déjà vu au 1.2.2 l'existence, pour le gaz de Van der Waals d'un point critique où  $\left.\frac{\partial P}{\partial y}\right|_T = \left.\frac{\partial^2 P}{\partial y^2}\right|_T = 0$  (plan de Amagat) et  $\left.\frac{\partial P}{\partial V}\right|_T = \left.\frac{\partial^2 P}{\partial V^2}\right|_T = 0$  (plan de Claparéde). Ce point n'est pas spécifique au modèle de Van der Waals mais existe bel et bien dans les gaz réels.

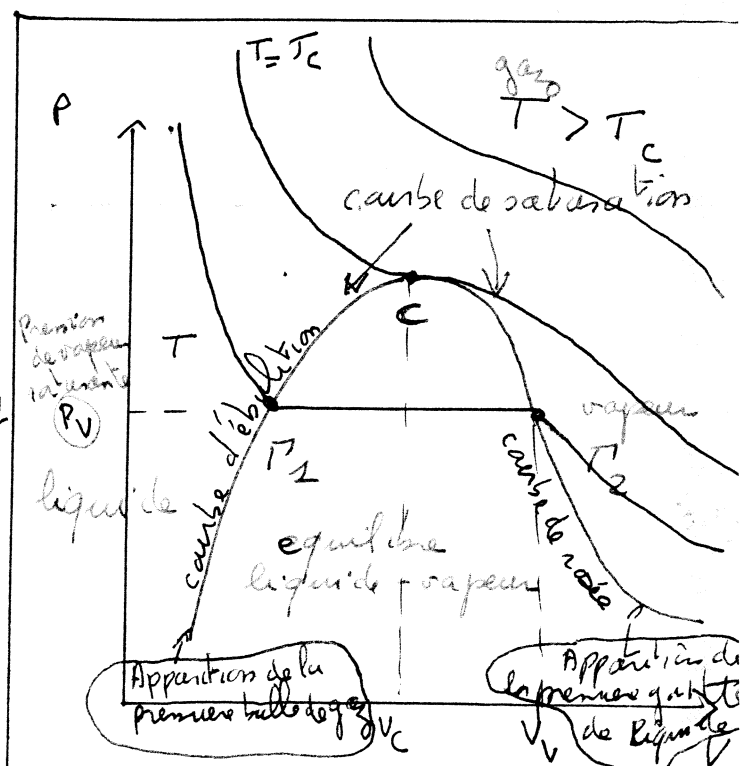
On a deux courbes schématiques

$P_1 (x=0)$ ,  $P_2 (x=1)$  marquant les extrémités des paliers de la séparation. Ces courbes ont pour équation  $x=0, 1 \Rightarrow \nabla_x(P, V, T) = 0, 1$  ( $V=V_1, V_2$ ). Soit

par le th des fonctions implicites :  $\Gamma_1$  :

$P \equiv P_1(V, T)$ , qui décrit une courbe différentiable  $V \equiv V_1(T)$  sauf où  $\left.\frac{\partial P}{\partial V}\right|_T = 0$ . Ce qui est précisément

le cas au point critique



Au point critique :

- les deux branches  $P_1$  et  $P_2$  se touchent
- Elles se rencontrent au point critique.

La courbe  $P_1$  ( $x=0$ ) est appelée courbe d'ébullition. La courbe  $P_2$  ( $x=1$ ) est appelée courbe de rosée. La courbe  $P_1 \cup P_2$  est appelée courbe de saturation.

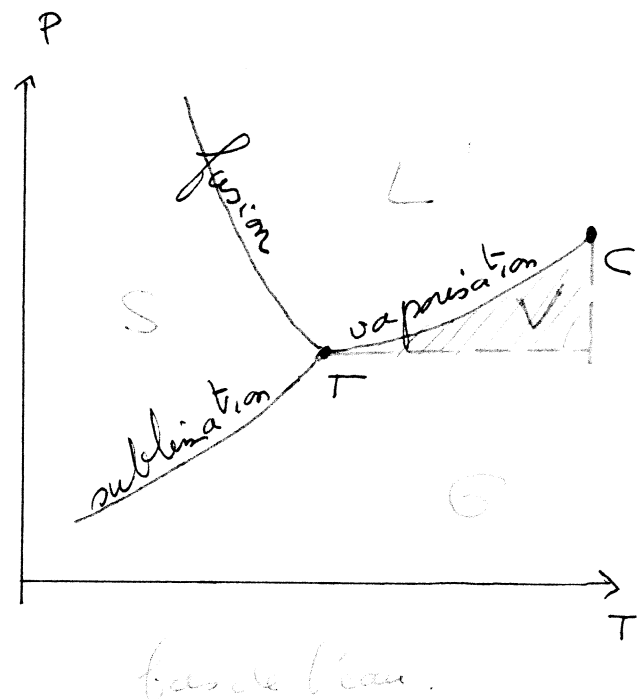
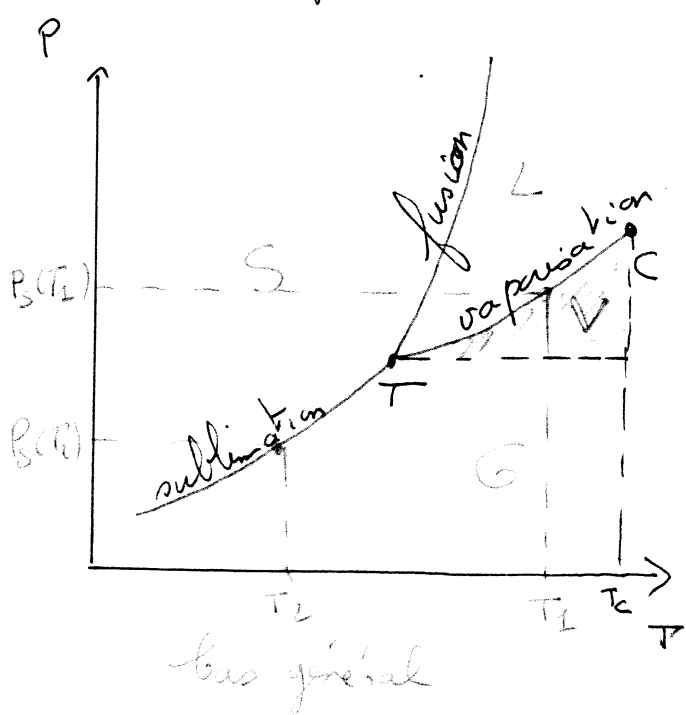
Au dessous du point critique, on passe continuum du gaz au liquide (par exemple par compression isotherme) sans que ce soit possible d'identifier une frontière entre ces deux phases.

### 2.2.4) Equilibres triphasés, points triples

Si on a 3 phases (solide, liquide, gaz), on a 3 courbes de transition de phase :  $S \leftrightarrow L$ ;  $L \leftrightarrow G$ ;  $S \leftrightarrow G$ . Il est possible que ces 3 phases coexistent, si :

$$G_S(T, P) = G_L(T, P) = G_G(T, P)$$

Cela correspond à l'intersection des 3 courbes de transition de phase en un point appelé point triple.

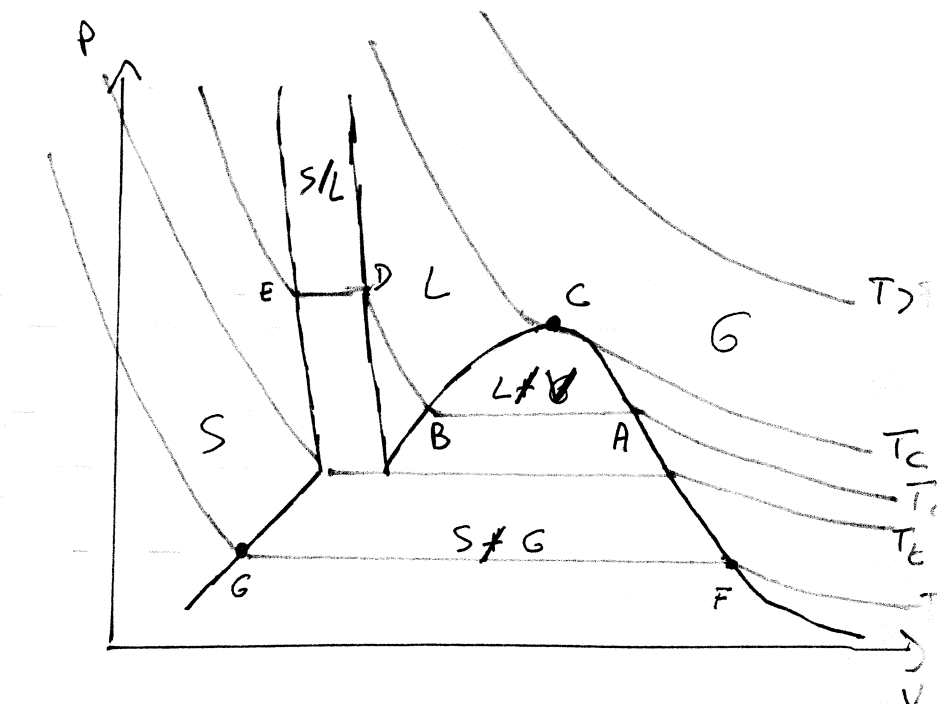
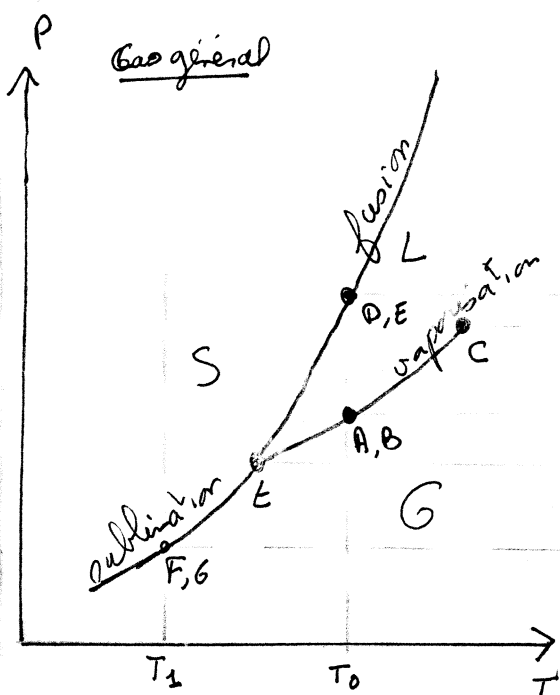


N.B. Au point triple la valeur des fonctions implicites est aussi nulle (il n'y a plus unicité de la courbe  $P = P(T)$ ) mais nécessaire (à gauche ou à droite)  $\frac{dP}{dT}$  reste finie.

L'ordonnée des points de la courbe de vaporisation et des points de la courbe de sublimation s'appelle pression de vapeur saturante  $P_0(T)$ .

## 2.2.5) Surface d'état.

### 2.2.5.1) Correspondance $(T, P)$ , $(V, P)$



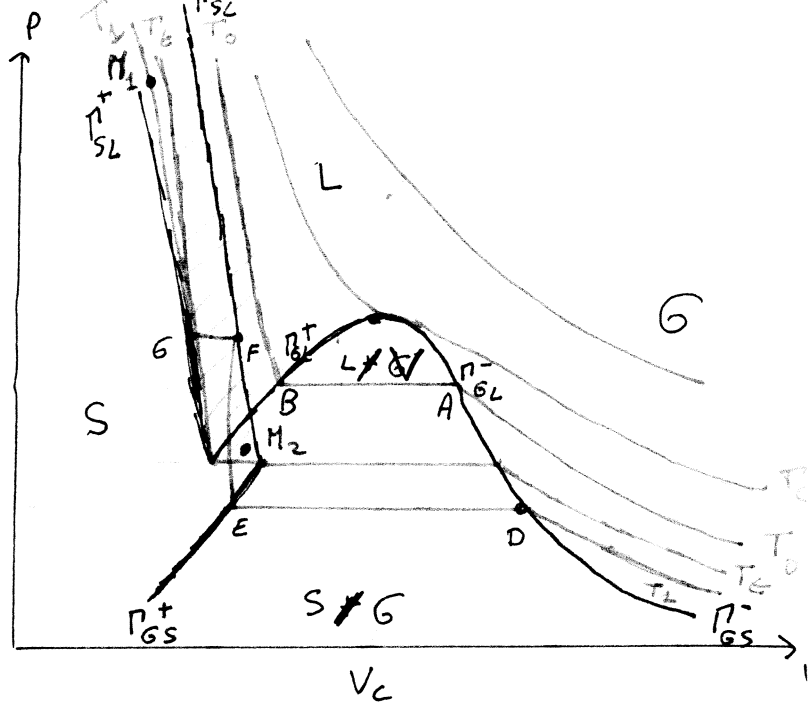
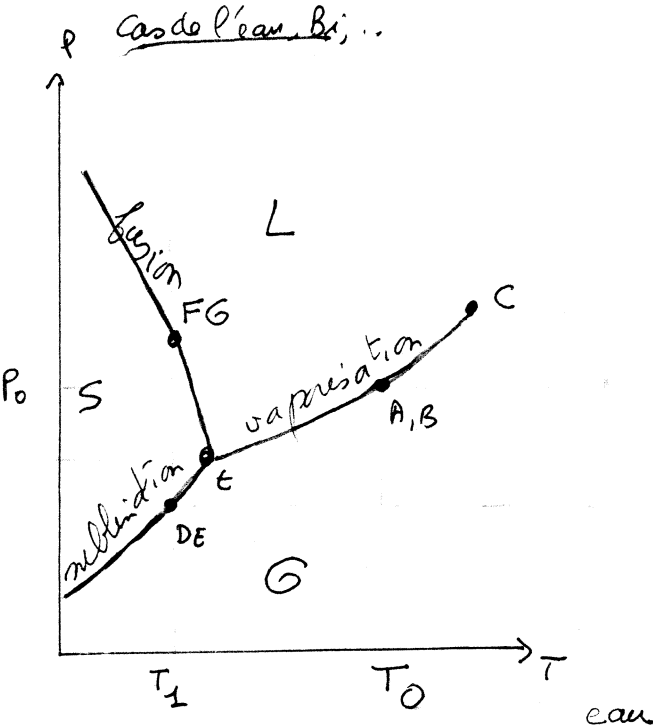
Sur le point C les courbes de vaporisation s'annulent

Sur le point T les courbes de transition se rencontrent  $\Rightarrow$  coexistence des deux états

Si  $T_0 > T_c$ , en augmentant  $P$  (par exemple par compression isotherme)  
 $\rightarrow$  on passe par  $B \rightarrow A$  ( $G \rightarrow L$ ). On rencontre ensuite  $D \Rightarrow$  palier  $L \rightarrow S$ , fin du palier sur  $E$

NB Courbes de D, E. On a  $\left[ \frac{\partial P}{\partial V} \right]_T = -\frac{1}{x_T V}$ . Mais en liquide ou en solide étant très peu compressibles,  $x_T \approx 0 \Rightarrow \left[ \frac{\partial P}{\partial V} \right]_T$  quasi verticale.

Voir remarque importante après les surfaces d'états:



Etape 1 : Tracer le diagramme P,T et reporter  $(V_c, P_c)$ ,  $(V_t, P_t)$  dans le diagramme ( $\Psi$ , P).

Étape 2 : Tracer les courbes d'eschalmeté des paliers. On considère une compression solitaire à différentes températures. On note  $P^-$  le début de palier,  $P^+$  la courbe de fin de palier.

**P66** Transition Gaz-liquide (pâlier A, B, température  $T_L < T_0 <$

Pour l'eau on voit que, pour  $T_1 < T_c$ , une compression isotherme passe par 2 paliers.

D'abord transition  $G \rightarrow S$  (palier D, E), courbes  $\Gamma_{GS}$

Puis transition  $S \rightarrow L$  (palier F, G), comes  $T_{SL}$

Tracer  $P_{GS}^+$ ,  $P_{SL}^+$  en s'aideant des isothermes.

\* Paar  $T_L < T_E$   $P_{GL}^- \rightarrow P_{GS}^-$

\*  $\Gamma_{GS}^+$  : se fait au point triple. La forme est donnée par l'expéri

\* Sur l'isotherme  $T_1$ , on marke  $y = g(x)$  en  $F$ . On intersecte la cour

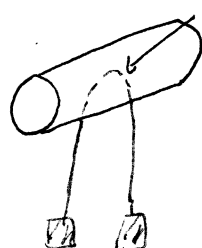
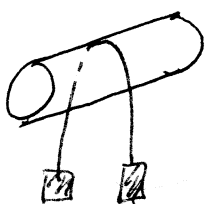
$\Gamma_{SL}^-$  qui a un point commun avec  $\Gamma_{GS}^+$  (le 2 carbes finissent en T).

\* Naivean pairing  $F \rightarrow G$  ( $S \rightarrow T$ )  
 $\vdash_{\text{proto}} S \rightarrow T$  aux 507

$\pi_{SL}^+$  part commun avec  $T_{GL}^-$  (en t)

NB: Dans la zone hachurée un point représente plusieurs états d'équilibre distincts. Par exemple le point  $P_1$  représente un équilibre liquide solide, du liquide seul ou des solides seul. Le point  $P_2$  représente un équilibre liquide solide, liquide vapeur ou du solide seul. En effet une isotherme passant par  $P_2$  coupe  $P_{SL}^-$ ,  $P_{GL}^-$ ,  $P_{SL}^+$ . Ceci est due à la forme particulière de la surface d'état.

NB: Dans le plan  $T, P$  on observe que la température de fusion de la glace dépend avec la pression.  $\Rightarrow$  Si on augmente  $P$ , la glace fond à des températures inférieures à  $0^\circ\text{C}$ . (Expérience du fil qui traverse la glace sans la casser)



$$P >> P_0 \Rightarrow T < T_0$$

### 2.2.5.2 Surfaces d'état.

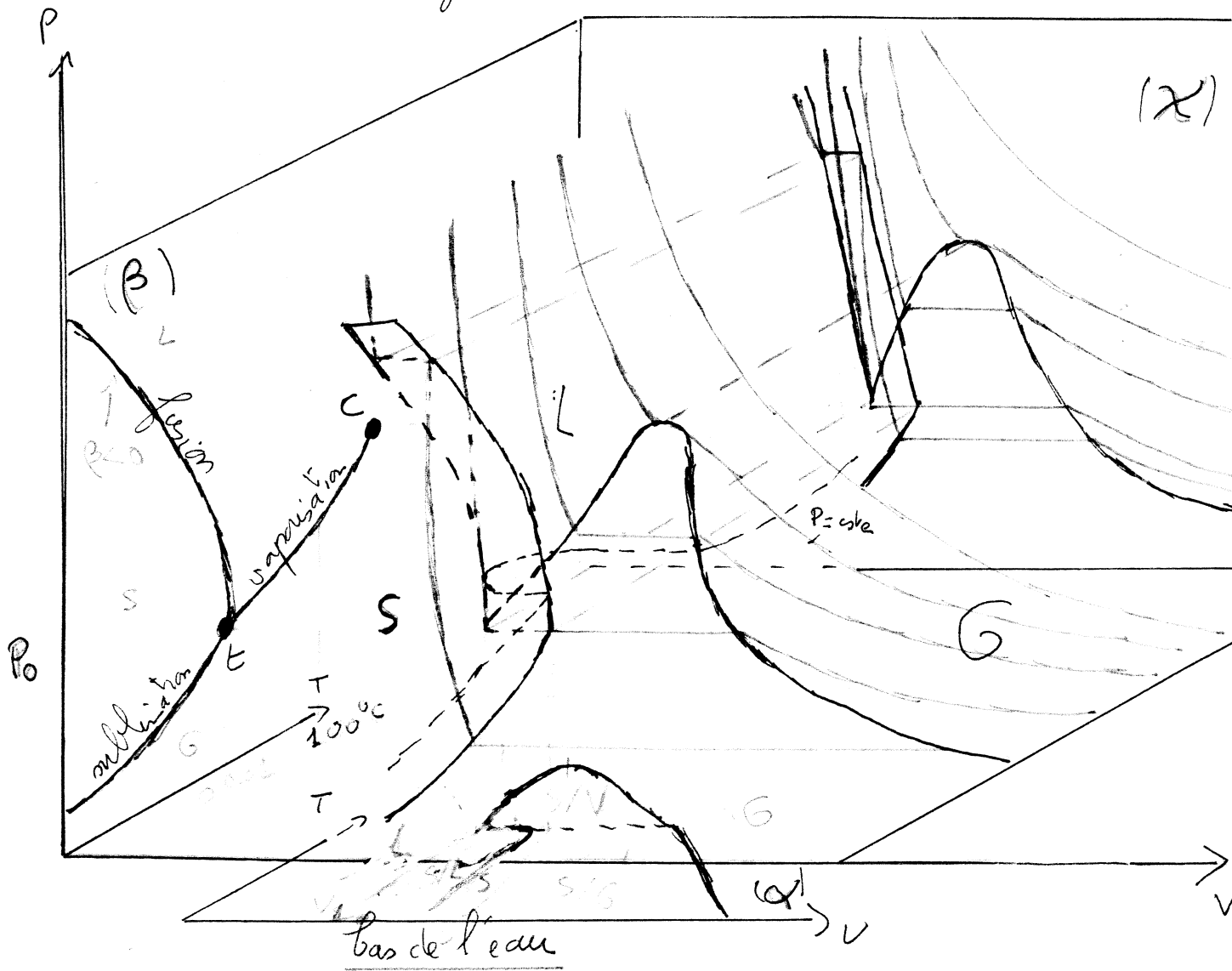
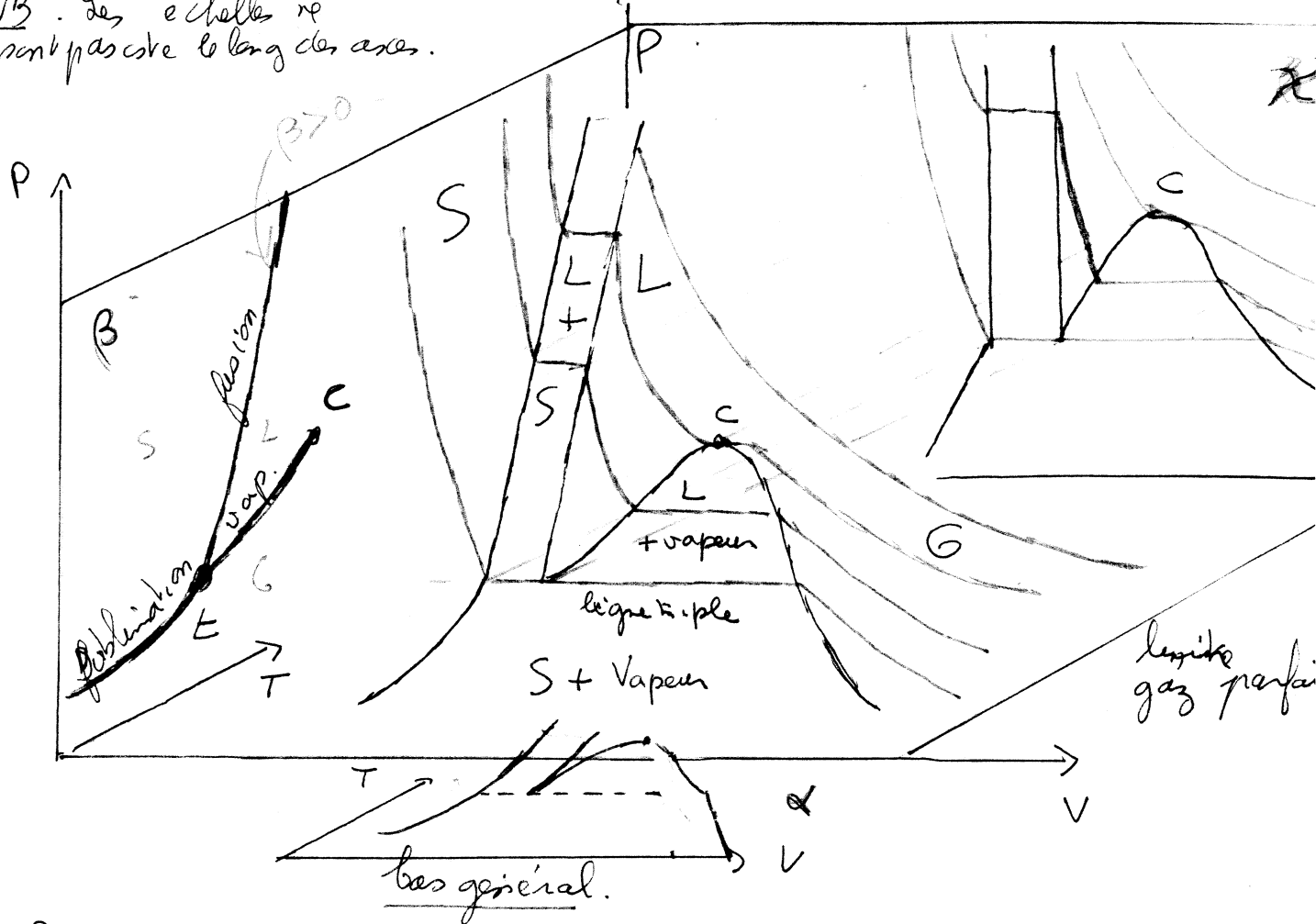
L'équation d'état  $f(P, V, T) = 0$  définit une surface dans l'espace  $P, V, T$ . Tant état d'équilibre est un point de cette surface. Par projection dans les plans  $(P, P)$  et  $(T, P)$  on retrouve les courbes tracées précédemment. On constate

- \* Les liquides et solides sont quasiment incompressibles (pente forte)
- \* Lois de la solidification: isotherme le volume de glace est supérieur au volume de liquide

Sur le plan  $L$  si dernière et la région "S" devant  $\Rightarrow$  quand on projette dans le plan  $(P, P)$  on a résistance d'état de la région correspondante

- \*  $P_0$  est la pression atmosphérique. En augmentant  $T$  on passe par  $S \rightarrow L \rightarrow G$

NB : les échelles ne sont pas toutes le long des axes.

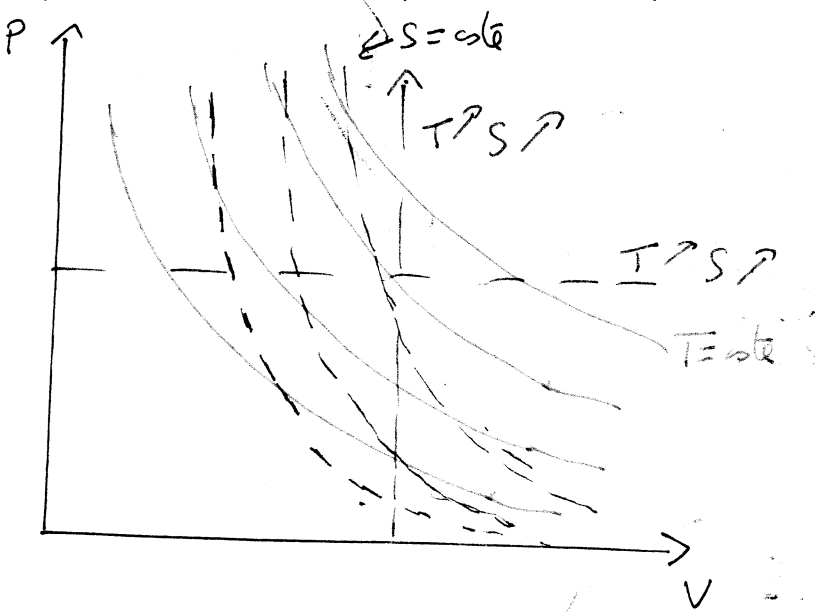


Remarque importante. Outre la partie de la ligne de fusion une différence importante entre le cas général et le cas de l'eau est la suivante. Dans le plan PT les lignes de fusion ( $\Gamma_{SG}$ ), sublimation ( $\Gamma_{SL}$ ) et vaporisation s'intersectent au point triple. Ce qui en val est une projection de surfaces de transition dans l'espace PVT. Dans le plan PV ces surfaces ne projettent sur des surfaces de planos délimitées par des courbes  $\Gamma_{SL}^+$ ,  $\Gamma_{SG}^+$ ,  $\Gamma_{GL}^+$ . La projection PT nous montre qu'il peut arriver  $\Gamma_{SL}^+$  intersecte  $\Gamma_{GL}^+$  ou bien  $\Gamma_{SL}^-$  intersecte  $\Gamma_{GL}^+$

### 2.2.5.3) Conséquences - Retour sur les chaleurs latentes

$\text{Sat } \alpha = \frac{1}{V} \left( \frac{\partial V}{\partial T} \right)_P$ . On a vu que  $\left. \frac{\partial S}{\partial T} \right|_P > 0$ . Comme  $\left( \frac{\partial S}{\partial T} \right)_P = \left( \frac{\partial S}{\partial V} \right)_P \left( \frac{\partial V}{\partial T} \right)_P > 0$ . Il en décale que  $\left( \frac{\partial S}{\partial V} \right)_P$  a le même signe que  $\alpha$ . De la même façon  $\left( \frac{\partial S}{\partial P} \right)_V$  a le même signe que  $\beta$ .

On en déduit que  $\alpha > 0 \Leftrightarrow$  sur une sobole quand le volume augmente, ou sur une sachole, quand la pression augmente, on coupe des contours d'entropie croissante.



A contrario, si  $\alpha < 0$  alors  $S \nearrow P$  gd.  
 $V \searrow$  (cas de la fusion de la glace)

La chaleur latente de changement de phase étant donnée par

$$S_2(T) - S_1(T) = \Delta S_{12}(T) = \frac{L_{12}(T)}{T},$$

on en déduit :

Fusion :  $L_f > 0$ . (Isochorie  $T \nearrow q dP \nearrow$ ,  $\alpha > 0$  sauf glace)

Vaporation :  $L_v > 0$

Sublimation :  $L_s > 0$

Pour calculer explicitement la chaleur latente on fait varier  $T$  de  $\frac{dT}{dP}$  ce qui fait changer de palier et explique une variation de la pression de palier  $\frac{dP}{dT}$ . La formule de Clapeyron donne :

$$L_f(T) = T [V_e(T, P) - V_s(T, P)] \frac{dP_f}{dT} > 0 \quad (\frac{V_e - V_s < 0}{dP_f/dT < 0} \text{ par l'éau})$$

$$L_v(T) = T [V_g(T, P) - V_e(T, P)] \frac{dP_v}{dT} > 0$$

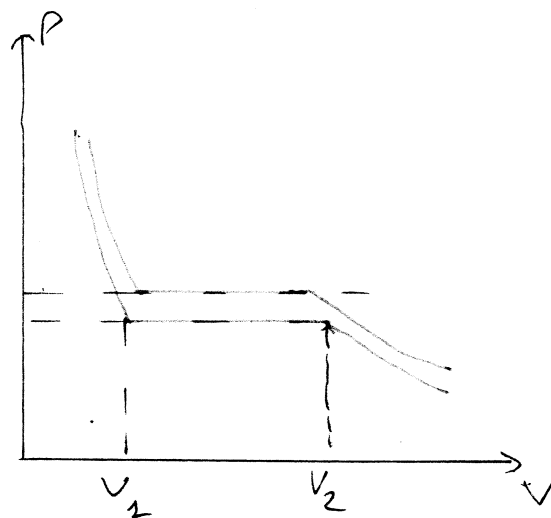
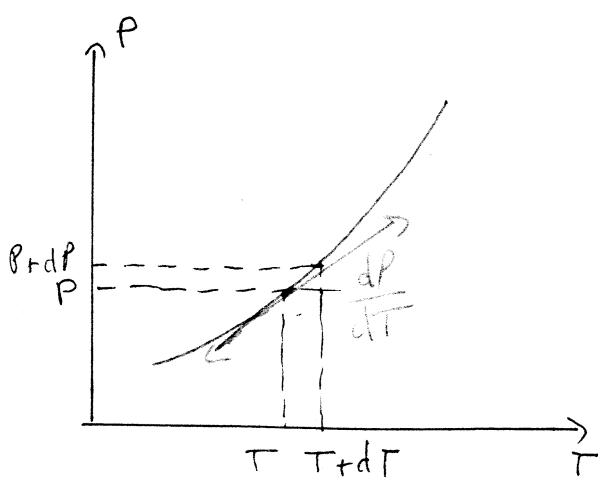
$$L_s(T) = T [V_g(T, P) - V_s(T, P)] \frac{dP_s}{dT} > 0$$

Expressions approchées

$$\text{vaporation} \quad V_g \gg V_e \Rightarrow L_v \sim TV_g \frac{dP_v}{dT} \sim \frac{nRT^2}{P_v(T)} \frac{dP_v}{dT}$$

$$\text{sublimation} \quad V_s \gg V_e \Rightarrow L_s \sim \frac{nRT^2}{P_s(T)} \frac{dP_s}{dT}$$

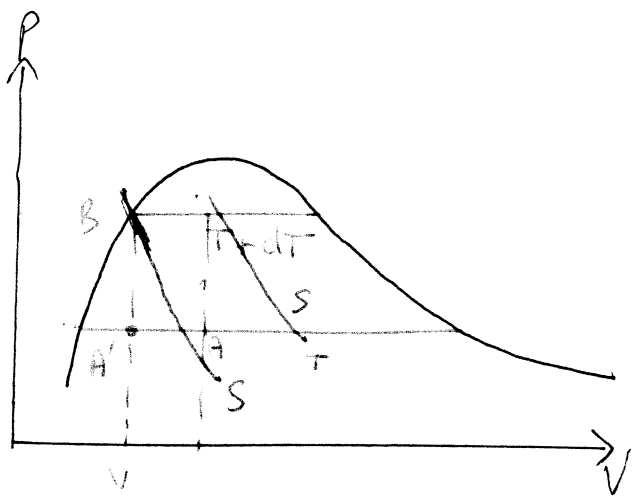
(G. P pour des points antiques)



## 2.2.5.4) Remarques

- \* Sur un palier  $dP=0, dT=0$ , mais  $\delta Q = C_p dT \neq 0 \Rightarrow C_p = +\infty \Rightarrow \gamma = +\infty$ . Mais  $\gamma = (\partial P/\partial V)_S / (\partial P/\partial T)_V$  (Reech)  $\Rightarrow (\partial P/\partial V)_S = \gamma (\partial P/\partial T)_V = +\infty \times 0$
- On  $(\partial P/\partial V)_S < 0 \Rightarrow \rho_{\infty} \text{ est fini}$

- \* Le long d'un solide le volume peut augmenter sur un palier sans variation de  $dT \Rightarrow \alpha_T = +\infty$



Allure des solides, solide, solide, solides  
isentropiques.

$A \rightarrow B$  isochore. En  $A'$  le liquide est partiellement vaporisé en  $B$  à  $T$  la température supérieure le corps est entièrement liquide.

On a un transfert thermique  $Q_{A'B} = \int_A^B C_V dT > 0$

Pour  $A \rightarrow B$  on effectue une liquéfaction sans transfert thermique

## 2.2.6) Point critique : propriétés

Concernant aux autres transitions, l'équilibre liquide-vapeur la courbe de saturation admet un maximum (point critique). Ce point a des propriétés très particulières. Pour  $T = T_C$  le palier, de la tension nulle, correspond à un point d'inflexion de l'isotherme ( $\frac{\partial^2 P}{\partial T^2} = 0$ ). Cependant,  $\frac{\partial P}{\partial T}$  et  $\frac{\partial^2 P}{\partial T^2}$  gardent des valeurs finies.

Les coordonnées  $T_c$ ,  $T_c$ ,  $V_c$  sont des constantes caractéristiques du corps pur.

	He	$H_2$	$N_2$	$O_2$	$CO_2$	$SO_2$	$H_2O$
$T_c$ (K)	5	33	126	154	309	430	697
$P_c$ (atm)	2.75	12.8	33.5	49.7	73.0	77.7	225
$V_c$ ( $m^3 kg^{-1} \times 10^3$ )	15	32	3.2	2.9	2.2	1.9	3.1

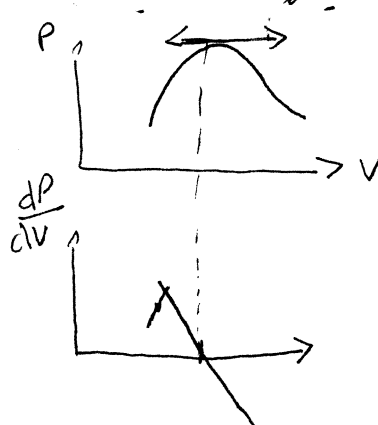
La variation de chaleur latente est donnée par:

$$\frac{dL}{dT} = \frac{d}{dT} \left( T(V_2 - V_1) \frac{dP}{dT} \right) = (V_2 - V_1) \frac{dP}{dT} + T \left( \frac{dV_2}{dT} - \frac{dV_1}{dT} \right) \frac{dP}{dT} + T(V_2 - V_1) \frac{d^2 P}{dT^2}$$

$$= (V_2 - V_1) \left( \frac{dP}{dT} + T \frac{d^2 P}{dT^2} \right) + T \frac{dP}{dT} \left( \frac{dV_2}{dT} - \frac{dV_1}{dT} \right)$$

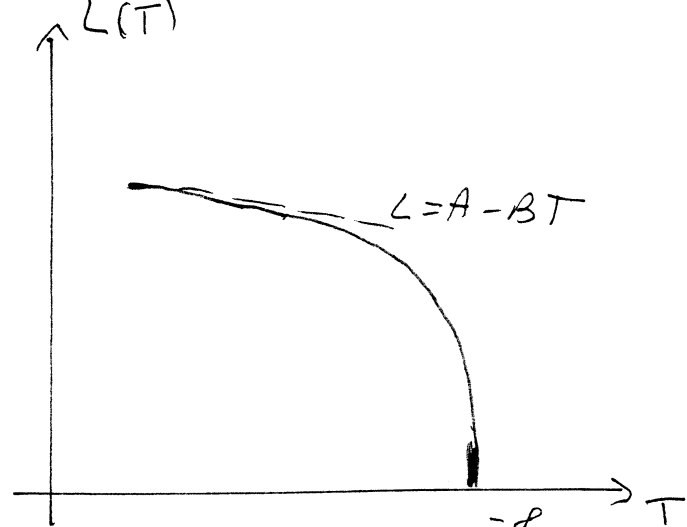
Au point critique  $V_2 = V_1 \Rightarrow L_c = 0$ . et  $\frac{dL}{dT} = T \frac{dP}{dT} \left( \frac{dV_2}{dT} - \frac{dV_1}{dT} \right)$

En ce point  $\left. \frac{dP}{dV} \right|_{V_1, V_2} = 0 \pm \Rightarrow \frac{dV}{dT} = \frac{dV}{dP} \frac{dP}{dT} = \mp \infty$



Donc  $\left. \frac{dL}{dT} \right|_c = -\infty$

Si l'allure générale de la chaleur latente est:

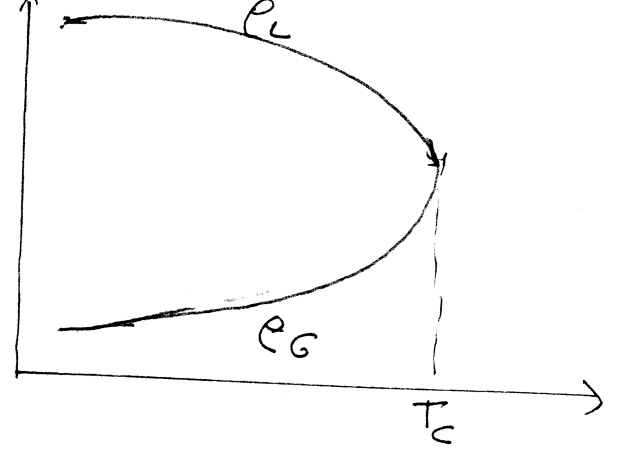


Par ailleurs, soit  $\rho_{1,2}$  les densités de fluide et gaz,

$$\rho_{1,2} = \frac{M}{V} \Rightarrow$$

$$\frac{d\rho_{1,2}}{dT} = -\frac{M}{V^2} \frac{dV}{dT}$$

Les densités sont dépendent de  $T$   
selon la courbe suivante  
et leur densité diverge au point  
critique.



Il décrit les propriétés  
(étudiées plus précisément en matière)

qui au point critique il y a des fluctuations spontanées de masse  
volémique, c'est-à-dire que fonction d'ondelettes de toute la taille possible  
avec une fréquence d'apparition qui dépendrait selon une loi de puissance  
en l'échelle  $P(s) \sim s^{-\alpha}$  où  $s$  est la dimension de la goutte  
et  $\alpha$  est un exponent caractéristique appelé exponent critique.  
Physiquement, cette propriété correspond à des fluctuations d'indice de réfraction et à un phénomène appelé opalescence critique.

Pas finis notons qu'au dessus de  $T_c$  on passe sans transition  
du fluide au gaz.

## 2.2.7) Point triple : Représentation VS

Sat  $n$  le nombre total de moles de corps pur et  $x_S, x_G, x_L$  les fractions molaires de solide, gaz, liquide. On a :

$$x_S + x_G + x_L = 1 \text{ et } dx_S + dx_G + dx_L = 0$$

L'enthalpie libre totale est (extensivité) :

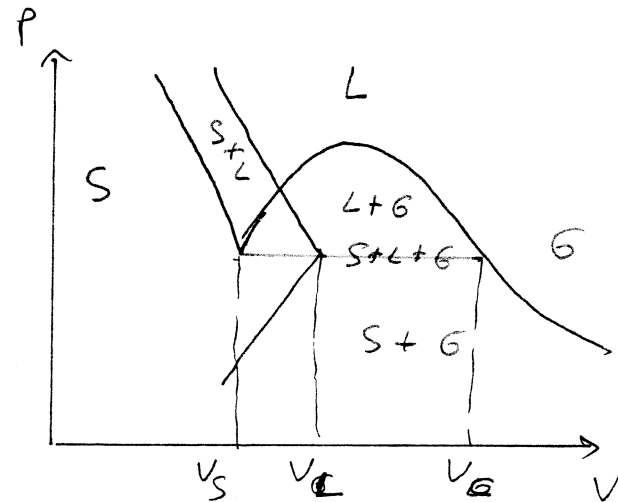
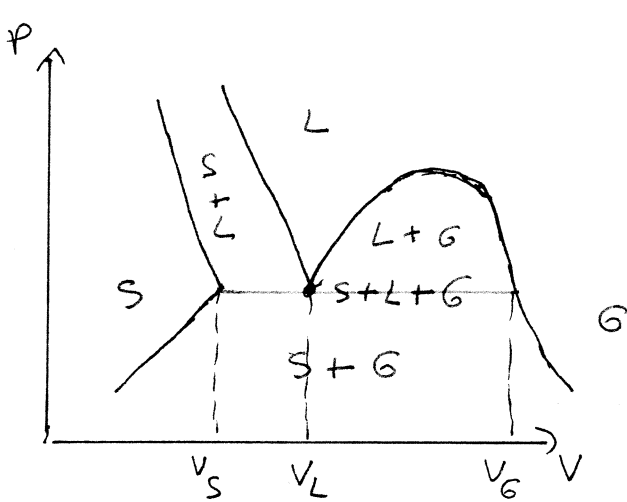
$$G = n[x_S G_S + x_G G_G + x_L G_L]$$

Au point triple on a :

$$G_S(T, P) = G_L(T, P) = G_G(T, P)$$

(généralement cette équation donne un point dans l'espace  $(V, T, P)$ .)

Si on fait une projection dans le plan  $(T, P)$  ou  $(V, P)$  il n'est pas possible de connaître l'état du système : plusieurs états sont possibles



Il est alors utile de changer de représentation, en utilisant, comme variables, les fractions molaires. Deux suffisent, on choisira  $x_S, x_L$ . On définit alors un état par les fractions molaires

Sat  $S_S \equiv S(1, 0, 0)$ ;  $S_G \equiv S(0, 1, 0)$ ;  $S_L \equiv S(0, 0, 1)$ . Pour un état  $x_S, x_G, x_L$  on a, l'enthalpie étant extensive :

$$S(x_S, x_G, x_L) = x_S S_S + x_G S_G + x_L S_L$$

$$\begin{aligned}
 S(x_S, x_G, x_L) &= (1 - x_G - x_L) S_S + x_G S_G + x_L S_L \\
 &= S_S + x_G (S_G - S_S) + x_L (S_L - S_S) \\
 &= S_S + x_G \frac{L_{SG}}{T_E} + x_L \frac{L_{SL}}{T_E}
 \end{aligned}$$

Sat  $T_E dS = L_{SG} dx_G + L_{SL} dx_L$ .

Si on choisit plutôt comme variables  $x_S, x_G$  le même raisonnement donnera

$$T_E dS = L_{LS} dx_S + L_{LG} dx_G = -L_{SL} dx_S + L_{LG} dx_G.$$

Comme  $dx_S = -dx_G - dx_L$  on a donc

$$\begin{aligned}
 L_{SG} dx_G + L_{SL} dx_L &= -L_{SL} dx_S + L_{LG} dx_G = L_{SL}(dx_G + dx_L) + L_{LG} dx_G \\
 \Rightarrow L_{SG} dx_G &= (L_{SL} + L_{LG}) dx_G
 \end{aligned}$$

Donc

$$L_{SG} = L_{SL} + L_{LG}$$
 au point b, pl

En utilisant l'équation de Clapeyron

$$\begin{aligned}
 L_{SL} + T_E \left( \frac{dP}{dT} \right)_{LG} (V_G - V_L) &= T_E \left( \frac{dP}{dT} \right)_{SG} (V_G - V_S) \\
 &> 0 \\
 \Rightarrow \left( \frac{dP}{dT} \right)_{SG} (V_G - V_S) &> \left( \frac{dP}{dT} \right)_{LG} (V_G - V_L)
 \end{aligned}$$

$$\left( \frac{dP}{dT} \right)_{SG} > \left( \frac{dP}{dT} \right)_{LG} \left( \frac{V_G - V_L}{V_G - V_S} \right) > 1$$

Ce qui donne la disposition des courbes  $\overset{\curvearrowleft}{\text{de sublimation et vaporisation}}$   
 TD Non barométrique

$$H = H_S + L_{SG} x_G + L_{SL} x_L$$

$$V = V_S + (V_G - V_S) x_G + (V_L - V_S) x_L$$

$$U = U_S + [L_{SG} - P_E (V_G - V_S)] x_G + [L_{SL} - P_E (V_L - V_S)] x_L$$

$$F = F_S - P_E (V_G - V_S) x_G - P_E (V_L - V_S) x_L$$

$$G = G_S$$

On peut alors représenter l'état du système dans le plan  $x_G, x_L$ . On préfère utiliser le plan  $V, S$ . En effet la donnée de  $V, S$  est équivalente à la donnée de  $x_G, x_L$ , en vertu des relations précédentes.

$$\begin{cases} S = S_S + x_G (S_G - S_S) + x_L (S_L - S_S) \\ x_S + x_G + x_L = 1 \\ x_S V_S + x_G V_G + x_L V_L = V \end{cases}$$

$$\Leftrightarrow \begin{bmatrix} 0 & S_G - S_S & S_L - S_S \\ 1 & 1 & 1 \\ x_S & V_G & V_L \end{bmatrix} \begin{bmatrix} x_S \\ x_G \\ x_L \end{bmatrix} = \begin{bmatrix} S - S_S \\ 1 \\ V \end{bmatrix} \Leftrightarrow A X = B$$

$$\begin{aligned} \det A &= - (S_G - S_S)V_L + V_G(S_L - S_S) + V_S[(S_G - S_S) - (S_L - S_S)] \\ &= V_S(S_G - S_L) + V_G(S_L - S_S) + V_L(S_S - S_G) \end{aligned}$$

$$x_G = \frac{\det \begin{bmatrix} 0 & S - S_S & S_L - S_S \\ 1 & V_S & V \\ 1 & V_G & V_L \end{bmatrix}}{\det A} = \frac{-V_L(S - S_S) + V(S_L - S_S) + V_S[(S - S_S) - (S_L - S_S)]}{\det A}$$

$$x_G = \frac{V_S(S - S_L) + V(S_L - S_S) + V_L(S_S - S)}{V_S(S_G - S_L) + V_G(S_L - S_S) + V_L(S_S - S_G)}$$

et c -

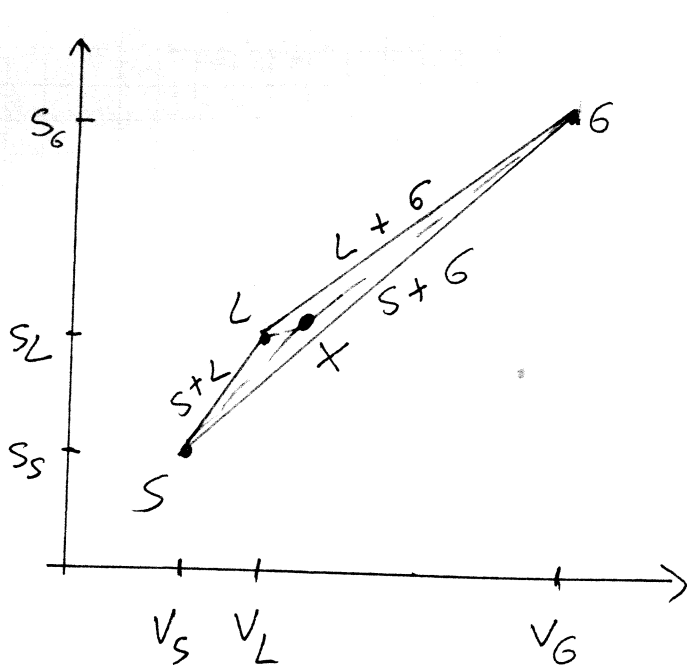
Dans le plan  $(V, S)$  l'ensemble des points contient des points particuliers (phases pures) :  $x_S = 1$  ou  $x_G = 1$  ou  $x_L = 1$ .

$$\Leftrightarrow \begin{cases} V = V_S & V = V_G & V = V_L \\ S = S_S & S = S_G & S = S_L \end{cases}$$

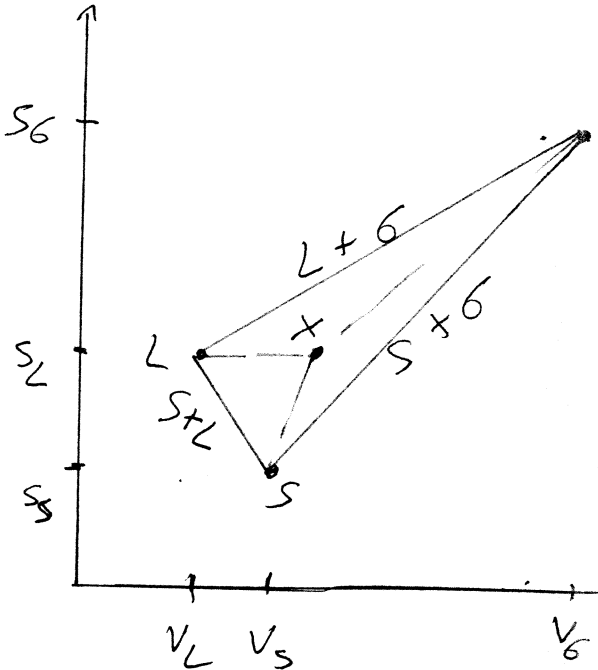
Toutefois de l'ensemble est donné par une intersection convexe de ces points (simples).

Faces du simplexe (mélange binaires)  $x_S = 0$  ou  $x_G = 0$  ou  $x_L = 0$

NB:  $S_S > S_L > S_G$  cf régulation thermique.



Cas général



Cas de l'eau.

En vertu du calcul précédent  $x_S, x_G, x_L$  sont donnés par les coordonnées  $(V, S)$ . Par ailleurs le rapport  $A$  est l'aire du triangle  $SGL$ , tandis que pour  $x_G$  par exemple, le rapport sera l'aire du triangle  $ALG$ .

### Preuves

- \* Dans cette représentation (axe parallèle à l'axe) un segment horizontal correspond à une transformation isochore, isotherme, isobare. Un segment vertical isotherme, isobare, isochore. Tant
- \* Toute transformation est donc parallèle aux côtés de ce triangle. Ainsi, un gain thermique augmente  $S$  donc  $X$  se rapproche de  $L+G$  et du solide fond au se sublimé. Une perte thermique diminue  $S$  de la vapeur se condense et  $X$  devient
- \* La pente des côtés du triangle  $GCS$  est égale à la pente, au front liquide de la surface correspondante à l'équilibre biphasé dans le plan ( $T, P$ ).

$$\text{Par ex: } S(x_L, 1-x_L) = S_L + \frac{V-V_L}{V_G-V_L} \frac{L_V}{T_L}$$

$$\Rightarrow \frac{dS_L}{dV} = \frac{1}{V_G-V_L} \frac{L_V(T_r)}{T_L} = \frac{dP_0}{dT}$$

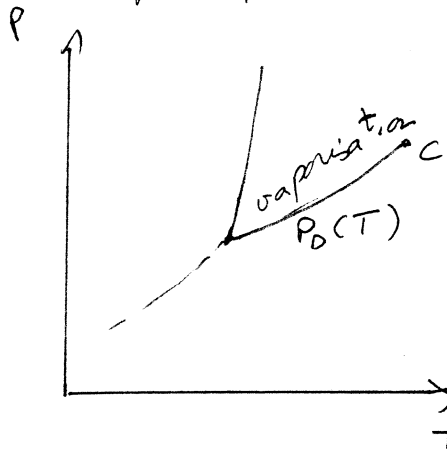
## 2.3) Etude de quelques transformations

### 2.3.1) Liquéfaction et vaporisation

#### 2.3.1.1) Pression de vapeur saturante

La vaporisation du liquide est due au fait que certaines molécules acquièrent, par agitation thermique, une énergie cinétique suffisante pour échapper à l'attraction des autres molécules. Il y a équilibre entre liquide et vapeur si le nombre de molécules qui quittent le liquide est égal au nombre de molécules qui y retournent dans le même temps.

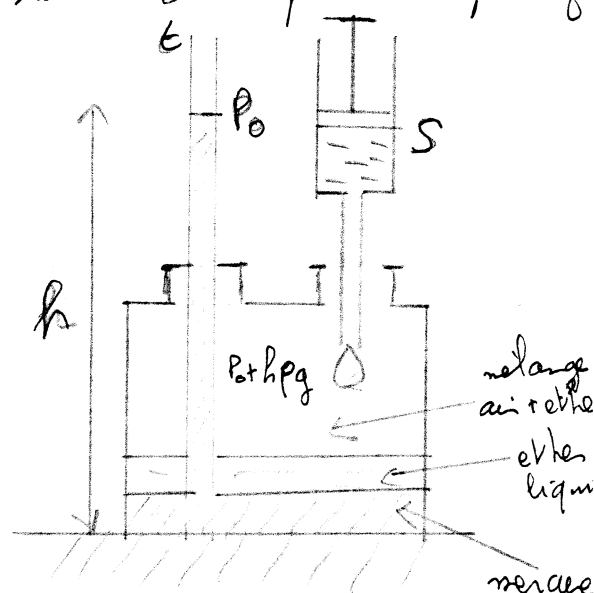
On appelle pression de vapeur saturante la pression de la vapeur,  $P_0(T)$



c'est une fonction croissante de  $T$ .

c'est une caractéristique inhérente du corps considéré.

On peut mesurer  $P_0(T)$  par le dispositif suivant.



L'ensemble contient du mercure. Le tube couvert d'huile dans le mercure contient au fond du flacon et permet la mesure de la pression extérieure  $P$  (atmosphérique). Une seringue  $S$  permet d'enlever de l'ether galette à galette. L'ether, en se vaporisant, fait augmenter la pression dans le flacon ainsi que la hauteur de la colonne de mercure. Au bout d'un certain temps la pression totale se stabilise et les deux liquides au fond du flacon augmentent.

La pression totale est  $P = P_0 + h P_g$

On constate que cette pression ne dépend que de  $T$ . C'est la pression de vapeur saturante.

Parce que : On constate donc, que dans l'équilibre liquide-gaz la pression de vapeur relativement ajoutée à la pression initiale.

## 2.3.1.2) Ébullition

Supposons que la pression totale soit inférieure à la pression de vapeur saturante (ébullition). On a plusieurs cas.

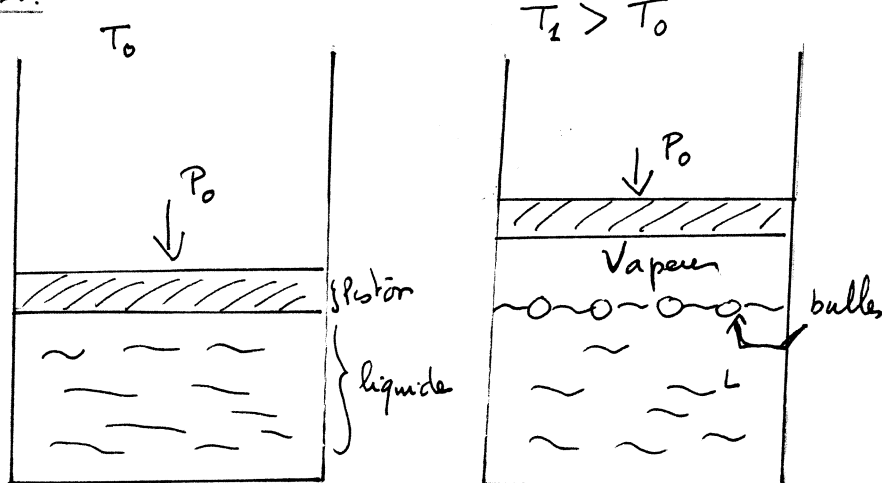
### 2.3.1.2.1) Vaporation dans le vide

Si le récipient de l'expérience précédent est initialement vide d'air alors l'eau se vaporise instantanément. Si la masse de liquide injectée est importante on a le type de voir des gouttes de vapeur qui se forment au sein du liquide. c'est l'ébullition. On a 2 cas:

→ Si on injecte suffisamment de liquide pour que la pression interne atteigne la pression de vapeur saturante. La vapeur obtenue est appelée vapeur saturante. On l'a alors un équilibre liquide-vapeur.

→ Soit il n'y a pas suffisamment de liquide. Le liquide est entièrement vaporisé et la vapeur obtenue est appelée vapeur sèche.

### 2.3.1.2.2) Augmentation de la température à pression constante et évaporation finie.

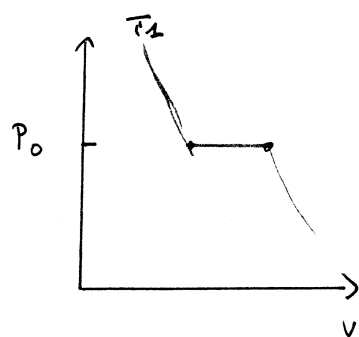
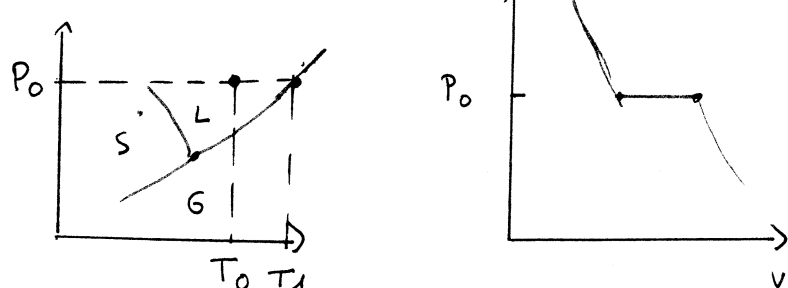


$$\text{Pour } P_o(T_1) = P_o$$

la vaporisation commence

On appelle cette température d'ébullition

$$P_o[T_{eb}(P_o)] = P_o$$



### 2.3.1.2.3) Milieu ouvert (atmosphère)

Si l'environnement est ouvert alors  $P = P_{atm}$  tout au long de l'évaporation.

Dans ce cas les caps peuvent tout le long de l'évaporation, à  $T = \text{const}$ , jusqu'à l'évaporation complète. On ne peut pas porter le liquide à une température supérieure à  $T_{eb}$ :  $P_o(T_{eb}(P_{atm})) = P_{atm}$ .

### 2.3.1.3) Evaporation. La pression totale est supérieure à $P_0$

Si le corps pur est seul on ne peut avoir ce cas. Par contre, en présence d'un autre corps on peut avoir  $P \geq P_0(T)$ .

Dasque plusieurs corps sont en présence on appelle pression partielle la pression que le gaz aurait s'il occupait seul le volume  $V$ .

E.g.: Pas en GP.

$$P_i = \frac{n_i RT}{V}; P = \sum_i P_i$$

Supposons par exemple que le corps pur soit de l'eau, on a donc

$$P = P_0 + P_{H_2O} \geq P_0(T)$$

On appelle degré hygrométrique la quantité :

$$h = \frac{P_{H_2O}}{P_0(T)}$$

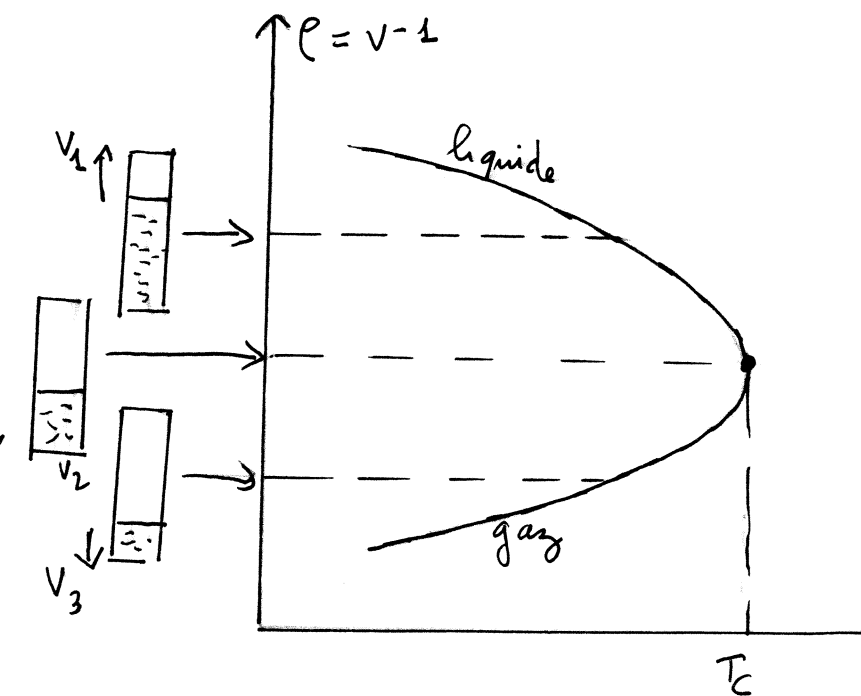
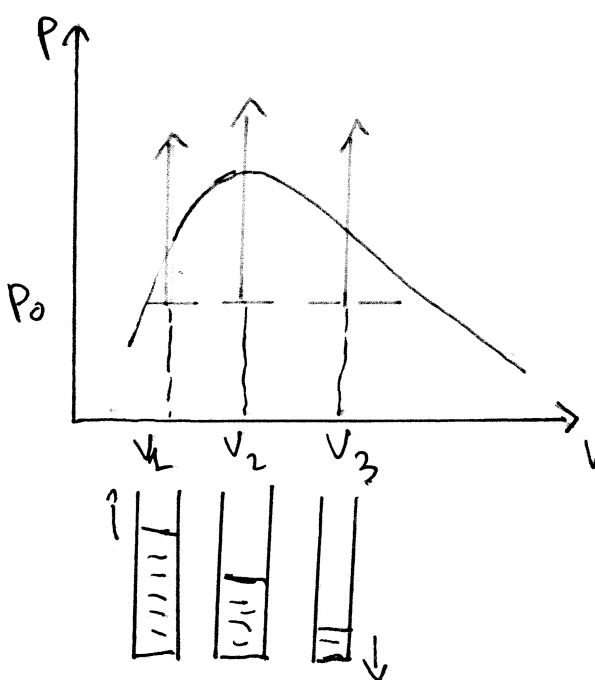
degré d'humidité

Si le corps échange en permanence avec le corps pur l'équilibre liquide-gaz qui dépend des échanges de molécules entre les gaz et le liquide du corps pur, se dépend que de la pression partielle.

Il y a équilibre entre liquide et gaz si la pression partielle est égale à la pression de vapeur saturante (i.e.  $h=1$ ).

Si  $P \geq P_0(T)$  on a évaporation, elle se stabilise si  $P_{H_2O} = P_0(T)$ . Dans ce cas  $h = 1$  (degré d'humidité de 100%). L'eau est alors saturée en vapeur d'eau.

### 2.3.1.4) Tubes de Natterer



On dispose de 3 tubes verticaux de volumes différents, contenant la même masse de corps pur. On choisit un corps tel que  $T_c > T_0$  ( $\text{CO}_2 \rightarrow T_c = 31^\circ\text{C}$ ). La pression correspondante,  $P_c$ , peut être très importante (73 atm pour  $\text{CO}_2$ ). Pour le premier tube  $V_1 < V_c$ , le second  $V_2 = V_c$ , le troisième  $V_3 > V_c$ .  $V_1, V_2, V_3$  sont sur la même parie de vaporisation à  $T_{\text{ambiente}}$ . Les 3 tubes contiennent donc, à  $T_0$ , du liquide et de la vapeur. ( $V_3$  est donc le tube qui contient le plus de gaz).

On chauffe les tubes  $\rightarrow$  transformations successives.

$\text{E}_3$  coupe la courbe de rosée  $\rightarrow$  Le liquide descend jusqu'à vaporisation complète

$\text{E}_1$  coupe la courbe d'ébullition  $\rightarrow$  le liquide monte jusqu'à vaporisation complète

$\text{E}_2$  coupe  $C$   $\rightarrow$  la surface de séparation  $V-L$  disparaît d'un coup. On observe l'opalescence critique.

### 2.3.2) Fusion, solidification, surfusion.

Si l'énergie interne n'est pas toujours extensive : elle l'est seulement si on peut négliger l'interaction entre les 2 systèmes (i.e. les 2 états d'un corps pur). Sinon, le bilan énergétique s'écrit :

$$U(S_L, U_S) = U(S_L) + U(S_S) + U(S_L \cap S_S)$$

$U(S_L \cap S_S)$  est l'énergie d'interaction entre les 2 phases  $L, S$  et elles proportionnelle à la surface de contact.

Soit une masse  $M$  de corps pur en équilibre  $L-S$ , avec  $n_L$  masse liquide,  $n_S$  masse solide.  $n = n_L + n_S$ . On a :

$$U(T, M) = n_L u_L(T) + (M - n_L) u_S(T) + \underbrace{\gamma \sum(n_L)}_{\text{énergie manique}}$$

$$\begin{aligned} \text{On a : } G(T, n) &= U(T, M) + P(M_L v_L + n_S v_S) - T(n_L \delta_L + n_S \delta_S) \\ &= M_L g_L(T) + n_S [g_S(T) - g_L(T)] + \gamma \sum(n_L) \end{aligned}$$

Si  $\gamma \sum > 0$ ,  $G$  diminue quand  $n_S$  passe de 0 à  $M$  car  $g_S(T) < g_L(T)$  si  $T < T_{\text{solid}}$ .

Si  $\gamma \sum < 0$ , l'enthalpie à la phase suivante  $\Rightarrow$  le système ne peut pas atteindre spontanément le nouveau état  $n_S$   $\Rightarrow$  resté dans l'état A liquide.

